

**SINTESIS *CARBON DOTS* (C-DOTS) DARI BAHAN GULA
PASIR DENGAN TEKNIK *MICROWAVE* UNTUK
MENDETEKSI LOGAM BERAT BESI (Fe^{3+})**



Skripsi

Diajukan Untuk Memenuhi Salah Satu Syarat Meraih Gelar Sarjana
Jurusan Fisika pada Fakultas Sains Dan Teknologi
UIN Alauddin Makassar

Oleh:

WENNI AMIRUDDIN SALAMBA

NIM. 60400114054

**FAKULTAS SAINS DAN TEKNOLOGI
UIN ALAUDDIN MAKASSAR
2018**

PERNYATAAN KEASLIAN SKRIPSI

Mahasiswa yang bertanda tangan di bawah ini:

Nama : Wenni Amiruddin Salamba

NIM : 60400114054

Tempat/Tgl. Lahir : Barru, 06 November 1996

Jur/Prodi/Konsentrasi : Fisika

Fakultas/Program : Sains dan Teknologi

Alamat : Jl. Maccini Pasar Malam IV No.6

Judul : Sintesis Carbon Dots (C-Dots) dari Bahan Gula Pasir dengan teknik microwave untuk mendeteksi logam berat Besi (Fe^{3+}).

Menyatakan dengan sesungguhnya dan penuh kesadaran bahwa skripsi ini adalah hasil karya sendiri. Jika dikemudian hari terbukti bahwa ia merupakan duplikat, tiruan, plagiat atau dibuat oleh orang lain, sebagian atau seluruhnya, maka skripsi dan gelar yang diperoleh karenanya batal demi hukum.

Makassar, 03 Agustus 2018
Penyusun,

UNIVERSITAS ISLAM NEGERI
ALAUDDIN
M A K A S S A R
Wenni Amiruddin Salamba
NIM. 60400114054

PENGESAHAN SKRIPSI

Skripsi yang berjudul “*Sintesis Carbon-Dots* dari Bahan Gula Pasir dengan Teknik *Microwave* untuk Mendeteksi Logam Berat Besi (Fe^{3+})”, yang disusun oleh saudari **Wenni Amiruddin Salamba**, NIM: 60400114054 Mahasiswa jurusan Fisika pada Fakultas Sains dan Teknologi UIN Alauddin Makassar, Telah diuji dan dipertahankan dalam munaqasyah yang diselenggarakan pada hari **Jum’at 3 Agustus 2018 M**, bertepatan dengan 21 Dzulkaidah 1439 H, dinyatakan telah dapat diterima sebagai salah satu syarat untuk memperoleh gelar Sarjana dalam Ilmu Sains dan Teknologi, Jurusan Fisika (dengan beberapa perbaikan).

Makassar, 03 Agustus 2018 M
21 Dzulkaidah 1439 H

DEWAN PENGUJI

Ketua : Dr. Wasilah, S.T., M.T. (... ..)

Sekretaris : Hernawati, S.Pd., M.Pfis. (... ..)

Munaqisy I : Sahara, S.Si., M.Sc., Ph.D. (... ..)

Munaqisy II : Dr. Thahir Maloko, M.HI. (... ..)

Pembimbing I : Rahmaniah, S.Si., M.Si. (... ..)

Pembimbing II : Muh. Said. L, S.Si., M.Pd. (... ..)

Diketahui oleh:

Dekan Fakultas Sains dan Teknologi
UIN Alauddin Makassar



Prof. Dr. H. Arifuddin, M.Ag.
NIP: 19691205 199303 1 001

KATA PENGANTAR

Puji syukur penulis panjatkan atas kehadiran Allah SWT, karena atas segala limpahan Rahmat dan karunia-Nya sehingga penulis dapat menyelesaikan skripsi yang berjudul *“Sintesis Carbon Dots (C-Dots) dari Bahan Gula Pasir dengan Teknik Microwave untuk Mendeteksi Logam Berat Besi (Fe^{3+})”* dengan tepat waktu. Shalawat dan salam semoga selalu tercurah kepada Rasulullah Muhammad SAW beserta keluarga, sahabat dan orang-orang yang mengikuti risalah beliau hingga akhir zaman.

Penulis ingin mengucapkan terima kasih yang sebesar-besarnya kepada kedua orang tua bapak **Drs. Amiruddin** dan **Hermin, S.Pd** yang tidak henti-hentinya memberikan kasih sayang yang tulus dan mendo'akan kesuksesan serta kebahagiaan penulis sehingga penulis mampu melewati semuanya seperti sekarang ini.

Penulis juga berterimakasih kepada Ibu **Rahmaniah, S.Si., M.Si.** selaku kepala Laboratorium Jurusan Fisika dan sekaligus pembimbing I yang telah meluangkan waktu, tenaga maupun pikirannya untuk membimbing dan mengarahkan penulis selama penyusunan skripsi ini. Dan kepada Bapak **Muh. Said L, S.Si., M.Pd.** selaku pembimbing II yang telah meluangkan waktu disela-sela kesibukannya untuk mengarahkan dan membimbing penulis selama penyusunan skripsi ini. Serta kepada Bapak **Dr. Isnaeni, M.Sc.** selaku pembimbing III yang sudah banyak meluangkan waktu, ilmu dan pikirannya demi membantu menyelesaikan skripsi ini dari awal penyusunan sampai akhir.

Alhamdulillah setelah melalui perjuangan panjang dengan berbagai kendala akhirnya penulis mampu melewatinya. Skripsi ini disusun sebagai salah satu syarat untuk memperoleh gelar sarjana. Skripsi ini tidak dapat selesai dengan baik tanpa adanya dukungan dan bantuan dari berbagai pihak. Oleh karena itu, penulis ingin menyampaikan ucapan terima kasih kepada:

1. Bapak **Prof. Dr. Musafir, M.Si.**, sebagai Rektor UIN Alauddin Makassar periode 2015 - 2019 yang telah andil andil dalam membangun UIN Alauddin Makassar dan memberikan berbagai fasilitas guna kelancaran studi mahasiswa UIN Alauddin Makassar.
2. Bapak **Prof. Dr. H. Arifuddin, M.Ag.**, sebagai Dekan Fakultas Sains dan Teknologi UIN Alauddin Makassar periode 2015-2019.
3. Ibu **Sahara S.Si., M.Sc., P.hD.**, sebagai Ketua Jurusan sekaligus Penguji I yang senantiasa memberikan kritikan dan motivasi demi perbaikan skripsi ini.
4. Bapak **Ihsan, S.Pd., M.Si.**, sebagai Sekretaris Jurusan Fisika, Fakultas Sains dan Teknologi yang telah membantu peneliti selama masa studi.
5. Bapak **Dr. Thahir Maloko, M.Hi.**, selaku Wakil Dekan II Fakultas Sains dan Teknologi sekaligus sebagai Penguji II yang senantiasa memberikan kritik dan motivasi demi perbaikan skripsi ini.
6. Seluruh Dosen Jurusan Fisika Fakultas Sains dan Teknologi yang telah memberikan arahan dan motivasi serta membantu peneliti selama masa studi.
7. Seluruh staf laboran yang ada di Jurusan Fisika dan Kimia yang telah banyak membantu demi kelancaran proses penelitian selama berada di laboratorium.

8. Seluruh Civitas Akademik yang telah banyak membantu demi kelancaran proses studi peneliti.
9. Ibu **Sitti Chadijah M.Si.**, selaku Kepala Laboratorium Kimia yang telah memberikan peneliti kesempatan untuk melakukan penelitian demi penyusunan skripsi.
10. Ummi **Zahra, S.Si., M.Si.**, yang telah membagi ilmunya demi penyusunan skripsi ini.
11. Kakak **Ismawanti S.Si.**, yang telah membantu peneliti selama penelitian.
12. Kakak **Fatimah S.Pd.**, yang telah banyak membantu dan meluangkan waktunya untuk berdiskusi dan membagi ilmunya.
13. Saudaraku Kakak **Inri** dan adikku **Imal** yang selalu mendo'akan keberhasilanku.
14. Sahabatku **Sri Wahyunianti** dan orang terdekat yang selalu memberikan motivasi dan kekuatan kepada penulis untuk tetap semangat.
15. Teman-teman angkatan 2014 **Musdalifah, Rekawaty, Ulfi Hidayatul Nuraeni, A. Elvira Riana, Sry Titi Wardani, Muh. Iqram, Alfian, Arwin Darwis, Dzulqadri Imran, Syaifuddin, Riska, Nadia, Anto, Ismail, Tesar** dan teman-teman yang tidak dapat saya sebutkan satu persatu yang telah banyak membantu penulis dan juga kepada semua senior yang telah berpartisipasi selama masa studi penulis.
16. Semua pihak yang telah membantu penulis yang tidak dapat penulis sebutkan satu persatu.

Penulis mengucapkan banyak terimakasih dan penghargaan yang setinggi-tingginya kepada semua orang yang telah berjasa selama penulis menempuh pendidikan di UIN Alauddin Makassar sehingga tidak muat bila dicantumkan semua dalam lembaran sekecil ini. Penulis meminta maaf kepada mereka yang namanya tidak sempat penulis sebutkan tanpa terkecuali,

Penulis menyadari dalam penyusunan skripsi ini masih terdapat banyak kekurangan. Oleh karena itu, penulis sangat mengharapkan kritik dan saran yang bersifat membangun dari semua pihak demi penyempurnaan skripsi. Semoga skripsi ini membawa manfaat bagi penulis khususnya dan dapat menambah wawasan bagi para pembaca.

Makassar, 03 Agustus 2018
Penulis,

UNIVERSITAS ISLAM NEGERI
Wenni Amiruddin Salamba
NIM. 60400114054
ALAUDDIN
M A K A S S A R

DAFTAR ISI

HALAMAN JUDUL.....	i
PERNYATAAN KEASLIAN SKRIPSI.....	ii
PENGESAHAN SKRIPSI	iii
KATA PENGANTAR	iv-vii
DAFTAR ISI.....	viii-ix
DAFTAR TABEL.....	x
DAFTAR GAMBAR	xi-xii
DAFTAR LAMPIRAN.....	xiii
ABSTRAK	xiv
ABSTRACT.....	xv
BAB I PENDAHULUAN.....	1-5
1.1 Latar Belakang.....	1
1.2 Rumusan Masalah	4
1.3 Tujuan Penelitian.....	4
1.4 Ruang Lingkup Penelitian	5
1.5 Manfaat Penelitian.....	5
BAB II TINJAUAN TEORETIS.....	6-33
2.1 Carbon Dots (C-Dots).....	6
2.2 Gula	8
2.3 Gula Pasir	11
2.4 Kandungan Gula Pasir	13
2.5 Teknik Microwave.....	15

2.6 Perspektif Al-qur'an tentang Logam Berat Besi (Fe^{3+}).....	16
2.7 Analisis Pengujian Sampel.....	18
BAB III METODE PENELITIAN	34-47
3.1 Tempat dan Waktu Penelitian.....	34
3.2 Alat dan Bahan Penelitian	34
3.3 Prosedur Penelitian.....	35
3.4 Bagan Alir Penelitian.....	47
BAB IV HASIL DAN PEMBAHASAN	48-55
4.1 Variasi Konsentrasi Larutan Gula terhadap Kualitas C-Dots yang dihasilkan menggunakan Teknik Microwave.....	48
4.2 Karakteristik Optik C-Dots Larutan Gula Pasir dengan Teknik Microwave	48
4.3 Pendeteksi Logam Berat Besi (Fe^{3+}) Menggunakan Bahan Carbon Dots (C-Dots)	51
4.4 Pendeteksi Logam Berat Besi (Fe^{3+}) Menggunakan Bahan Carbon Dots (C-Dots)	55
BAB V PENUTUP.....	57-58
5.1 Kesimpulan.....	57
5.2 Saran	58
DAFTAR PUSTAKA	59-62
LAMPIRAN-LAMPIRAN.....	L1-L26
RIWAYAT HIDUP.....	L27

DAFTAR TABEL

No.	Keterangan Tabel	Halaman
2.1	Komposisi Zat Gizi Gula Pasir (per 100 gram berat bahan)	12
2.2	Perbedaan Panjang Gelombang Cahaya Tampak.....	25
2.3	Hasil Pengukuran Diameter C-Dots Larutan gula Pasir.....	33



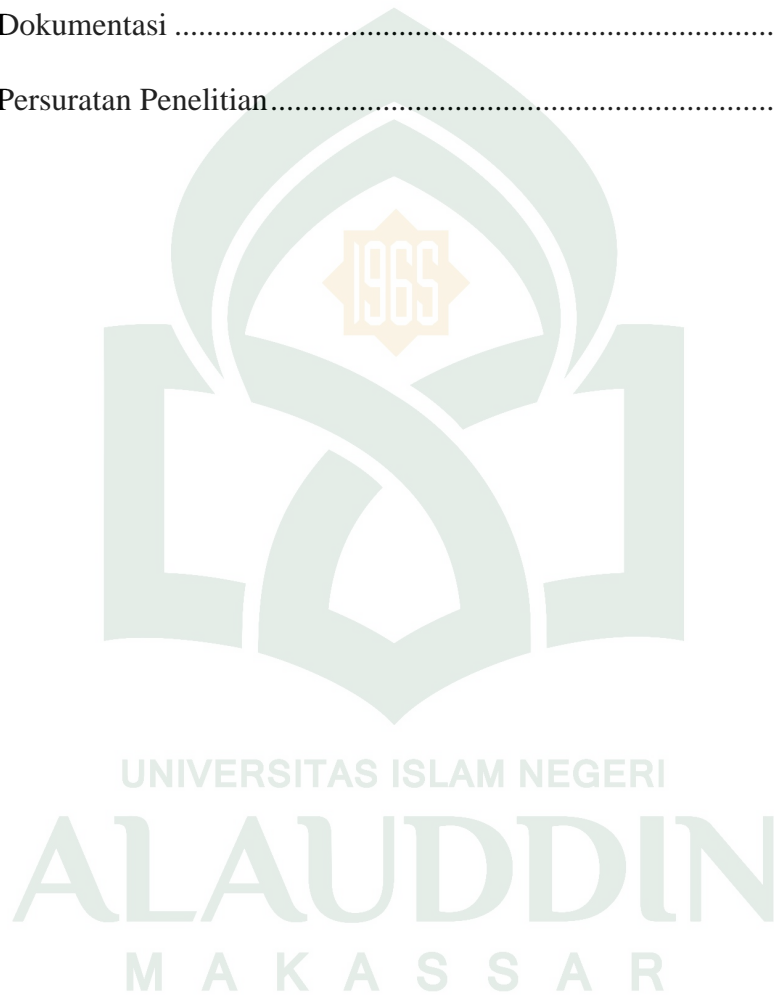
DAFTAR GAMBAR

No.	Keterangan Gambar	Halaman
2.1	Tiga Jenis CD <i>Fluoresens</i> terdiri dari <i>graphen Quantum Dots</i> (GQDs), <i>Carbon Nanodots</i> (CNDs), dan <i>Polymer Dots</i> (Pds).....	7
2.2	Metode sintesis <i>top-down</i> dan <i>bottom-up</i>	9
2.3	<i>Monosakarida</i>	9
2.4	<i>Disakarida</i>	10
2.5	Gula Pasir	12
2.6	Prinsip kerja spektrofotometer	19
2.7	Berbagai jenis eksitasi elektronik.....	23
2.8	Contoh set-up eksperimen dan <i>spectrum photoluminescence</i>	26
2.9	Proses <i>luminesensi</i>	27
2.10	Dua pita <i>fluorensensi</i> yang diamati dalam C-Dots, yang juga dapat dikaitkan dengan emisi <i>core</i> dan <i>surface</i>	28
2.11	Prinsip kerja FTIR.....	29
2.12	Hasil pengujian TEM C-Dots larutan gula pasir dengan metode <i>microwave</i>	32
3.1	Timbangan digital	36
3.2	<i>Magnetic stirrer</i>	36
3.3	Alat <i>microwave</i>	37
3.4	<i>Set-up</i> eksperimen <i>fotoluminesensi</i>	41
3.5	Tampilan awal software <i>spectra suite</i> untuk <i>fotoluminesensi</i>	42

3.6	Tampilan software <i>spectra suite</i> setelah melakukan <i>dark reference fotoluminesensi</i>	42
4.1	Variasi konsentrasi larutan gula pasir sebelum di <i>microwave</i>	48
4.2	Hasil sintesis C-Dots dengan teknik <i>microwave</i> pada konsentrasi (a) K1= 3,6 gr/L, (b) K2= 2,1 gr/L, (c) K3= 1,7 gr/L.	49
4.3	Sampel yang ditembakkan sinar UV 405 nm.....	49
4.4	Hasil arakteristik Uv-Vis C-Dots larutan gula pasir dengan berbagai konsentrasi menggunakan teknik <i>microwave</i>	50
4.5	Hasil karakteristik PL C-Dots larutan gula pasir dengan teknik <i>microwave</i>	51
4.6	Hasil karakterisasi PL dengan penambahan logam berat besi (Fe ³⁺) pada konsentrasi C-Dots 3,6 gr/L.....	52
4.7	Hasil karakterisasi PL dengan penambahan logam berat besi (Fe ³⁺) pada konsentrasi C-Dots 2,1 gr/L.....	53
4.8	Hasil karakterisasi PL dengan penambahan logam berat besi (Fe ³⁺) pada konsentrasi C-Dots 1,7 gr/L.....	54
4.9	Hasil karakterisasi FTIR C-Dots larutan gula pasir	55

DAFTAR LAMPIRAN

No.	Keterangan Lampiran	Halaman
1	Data Hasil Penelitian.....	L1-L4
2	Analisis Data	L5-L9
3	Dokumentasi	L10-L18
4	Persuratan Penelitian.....	L19-L26



ABSTRAK

Nama : Wenni Amiruddin Salamba
NIM : 60400114054
Judul : Sintesis *Carbon Dots* (C-Dots) dari Bahan Gula Pasir dengan Teknik *Microwave* untuk Mendeteksi Logam Berat Besi (Fe^{3+}).

Telah dilakukan penelitian sintesis *Carbon Dots* (C-Dots) dari bahan gula pasir dengan menggunakan teknik *microwave* untuk mendeteksi logam berat besi (Fe^{3+}). Penelitian ini bertujuan untuk mengetahui pengaruh variasi konsentrasi larutan gula terhadap kualitas C-Dots yang dihasilkan, karakteristik optik dengan menggunakan teknik *microwave*, apakah bahan C-Dots yang dihasilkan dapat digunakan untuk mendeteksi logam berat besi (Fe^{3+}) dan menganalisis gugus fungsi dan ikatan rantai dari C-Dots dengan menggunakan metode *Fourier Transformer Infrared Spectroscopy* (FTIR).

Konsentrasi larutan gula yang digunakan untuk mensintesis C-Dots menggunakan teknik *microwave* berturut-turut 0,37 gr/ml, 0,27 gr/ml dan 0,21 gr/ml sehingga diperoleh konsentrasi C-Dots berturut-turut sebesar 3,6 gr/L, 2,1 gr/L, dan 1,7 gr/L. Sintesis C-Dots dikarakterisasi menggunakan spektrometer *Ultraviolet-Visible* (Uv-Vis), *photoluminescence*, dan *Fourier Transformer Infrared Spectroscopy* (FTIR).

Hasil penelitian menunjukkan bahwa: (a) semakin sedikit konsentrasi larutan gula yang digunakan maka konsentrasi C-Dots semakin tinggi; (b) Karakteristik optik C-Dots dari bahan gula pasir dihasilkan dari proses sintesis menggunakan teknik *microwave* yang dilakukan selama 40 menit sehingga karakteristik Uv-Vis dari ketiga konsentrasi C-Dots dihasilkan dua puncak absorpsi yaitu *core* dan *surface state* dengan panjang gelombang yang berbeda-beda; (c) Sintesis C-Dots dari bahan gula pasir berhasil mendeteksi logam berat besi (Fe^{3+}), karakteristik PL mengalami pergeseran panjang gelombang ketika ditambahkan logam berat dan pendaran yang dihasilkan yaitu berwarna hijau yang memiliki panjang gelombang antara 500-570 nm; (d) Karakteristik FTIR menandakan bahwa gugus fungsi C=O dan C-O yang menghasilkan pendaran yaitu diarea *surface state*.

Kata Kunci: *C-Dots*, Teknik *Microwave*, Logam Berat besi (Fe^{3+}).

ALAUDDIN
M A K A S S A R

ABSTRACT

Name : Wenni Amiruddin Salamba
NIM : 60400114054
Title : **Synthesis of *Carbon Dots* (C-Dots) from Sugar Material by Microwave Technique to Detect Heavy Metal of Iron (Fe^{3+}).**

Carbon Dots (C-Dots) research has been conducted by using microwave technique to detect heavy metal of iron (Fe^{3+}). The aim of this study is to determine the effect of variation of sugar solution concentration on the quality of produced C-Dots, using microwave techniques, whether C-Dots materials can be used to detect heavy metals (Fe^{3+}) and study functional and bonding groups of C-Dots by using Fourier Transformer Infrared Spectroscopy (FTIR) method.

The concentration of sugar solution used to synthesize C-Dots using microwave techniques were 0,37 gr/ml, 0,27 gr/ml dan 0,21 gr/ml respectively, as a result, the concentration of C-Dots was 3,6 gr/L, 2,1 gr/L, and 1,7 g/L. The synthesis of C-Dots was characterized using a UV-Vis spectrometer Ultraviolet (Uv-Vis), photoluminescence, and Fourier Transformer Infrared Spectroscopy (FTIR).

The results of the study showed that: (a) The less yield of sugar concentration used, the more C-Dots increased; (b) The optical characteristic of C-Dots of sugar ingredients resulted from a process of using a 40-minute microwave technique from Uv-Vis of the three C-Dots concentrations yielded two absorption peaks; nuclei and surface conditions of varying wavelengths; (c) Synthesis of C-Dots from materials of granulated sugar, metals, heavy iron (Fe^{3+}), long-wavelength PL-long metallic characteristics and luminescence of green having wavelengths between 500-500 nm; (d) The FTIR characteristic indicates that the functional groups C=O and C-O produce the luminescence at the surface state area.

Keywords: *C-Dots, Microwave Technique, Heavy Metal (Fe^{3+}).*

UNIVERSITAS ISLAM NEGERI
ALAUDDIN
M A K A S S A R

BAB I

PENDAHULUAN

1.1 Latar Belakang

Nanosains adalah ilmu yang mempelajari berbagai gejala-gejala alam yang berukuran nanometer. Salah satu nanosains yang berukuran nanometer adalah *Carbon Dots*. *Carbon Dots* (C-Dots) merupakan bahan karbon baru yang berukuran dibawah ~10 nm. Sejak ditemukannya nanopartikel C-Dots sebagai bahan baru dari karbon, kajian intensif mengenai C-Dots terus berkembang dengan cepat hingga saat ini. Ikatan rantai karbon sebagai sumber utama dalam pembuatan C-Dots menjadi fokus penelitian yang dikaji dan dikembangkan penerapannya dalam beberapa aplikasi. Sudah banyak peneliti mengkaji berbagai sumber karbon seperti Zhai, dkk; (2012) menggunakan sumber karbon dari *citric acid*, Zhu, dkk; (2012) menggunakan sumber karbon dari susu kedelai dan Sahu, dkk; (2012) menggunakan sari jeruk. Kemajuan yang telah dicapai mengenai kajian yang meliputi sintesis, sifat dan aplikasi C-Dots telah dipaparkan oleh para peneliti.

Pengembangan materi nanopartikel telah merambah ke dalam dunia teknologi berupa nanoteknologi. Salah satu bidang yang menarik minat banyak peneliti adalah pengembangan metode sintesis nanopartikel. Nanopartikel bermakna pembuatan partikel dengan ukuran yang kurang dari 10 nm dan sekaligus mengubah sifat atau fungsinya. Nanopartikel memiliki sifat atau fungsi yang berbeda dari material sejenis dalam ukuran besar (*bulk*).

Perkembangan teknologi dan industri dapat berdampak positif atau negatif bagi kehidupan manusia. Dampak positif, yaitu dampak yang diharapkan dalam rangka meningkatkan kualitas dan kenyamanan hidup. Berdasarkan Undang-undang Nomor 32 Tahun 2009 tentang Perlindungan dan Pengelolaan Lingkungan Hidup, yang disebut dengan pencemaran lingkungan hidup adalah masuk atau dimasukkannya makhluk hidup, zat, energi dan/atau komponen lain ke dalam lingkungan hidup oleh kegiatan manusia sehingga melampaui baku mutu lingkungan hidup yang telah ditetapkan.

Pencemaran lingkungan meliputi pencemaran udara, pencemaran air, dan pencemaran tanah (daratan). Masalah pencemaran lingkungan tidak bisa dipisahkan dengan toksikologi. Material ini dapat diaplikasikan secara luas untuk fotokatalis, sensor, laser, LED dan penyimpan energi Qu,*et al*; (2012). Pada penelitian ini diujikan kemampuan nanopartikel karbon sebagai sensor ion logam berat. Sebelum nanopartikel karbon dikembangkan untuk sensor, semikonduktor *quantum dot* konvensional seperti CdS, CdSe, dan ZnS telah berhasil digunakan untuk mendeteksi logam. Namun, bahan-bahan tersebut dapat mencemari lingkungan serta bersifat toksik bagi makhluk hidup Zhu, *et al*; (2013). Oleh karena itu, nanopartikel karbon mulai dikembangkan sebagai sensor atau detektor logam karena sifat toksisitasnya yang rendah.

Penggunaan C-Dots sebagai sensor ion logam telah banyak dilakukan pada penelitian sebelumnya. Yan, *et al*; (2014) menjelaskan bahwa C-Dots yang disintesis dari asam sitrat anhidrat dan etilendiamina menunjukkan hasil yang selektif terhadap ion logam Hg^{2+} . Penelitian ini telah dilakukan pengujian larutan

C-Dots dari asam askorbat-urea 75 % pada beberapa jenis larutan ion logam. Larutan ion logam yang digunakan di antaranya, Fe^{2+} , Mn^{2+} , Hg^{2+} , Cr^{3+} , Cr^{6+} dan Pb^{2+} . Konsentrasi masing-masing ion logam yang ditambahkan ke dalam larutan C-Dot, yaitu 1000 ppm. Sedangkan konsentrasi larutan C-Dots dari asam askorbat-urea 75 % sebesar 1 mg/mL. Setelah kedua larutan tersebut dicampurkan dan diuji di bawah lampu UV 366 nm, terlihat beberapa sampel mengalami peningkatan intensitas emisi cahaya (pendaran) dan lainnya mengalami penurunan intensitas emisi cahaya (pendaran). Selain itu, diketahui bahwa ion logam Cr^{6+} dapat menurunkan intensitas emisi cahaya dari C-Dots. Hal ini menunjukkan bahwa larutan C-Dots selektif terhadap ion logam Cr^{6+} . Hasil yang didapat diketahui bahwa dengan adanya penambahan ion logam Cr^{6+} mampu menurunkan intensitas C-Dots yang mengalami perubahan warna (berpendar).

Penelitian ini merupakan pengembangan dari penelitian yang telah dilakukan di laboratorium Laser pada Lembaga Ilmu Pengetahuan Indonesia (LIPI) oleh Wenni, (2017) tentang C-Dots dengan menggunakan metode *microwave* berbahan gula pasir ($\text{C}_{12}\text{H}_{22}\text{O}_{11}$) untuk mendeteksi logam berat. Pada penelitian ini menggunakan karakterisasi *Ultra-Violet Visible* (UV-Vis) untuk melihat penurunan absorbansinya dan *Photoluminescence* (PL) untuk melihat keberhasilan dari suatu C-Dots gula pasir untuk mendeteksi logam berat Fe^{3+} . Namun penelitian ini masih perlu dikembangkan agar dapat diketahui ikatan yang terdapat pada C-Dots menggunakan metode *Fourier Transformer Infrared Spectroscopy* (FTIR).

1.2 Rumusan Masalah

Berdasarkan latar belakang diatas maka yang menjadi rumusan masalah adalah:

1. Bagaimana pengaruh variasi konsentrasi larutan gula terhadap kualitas *Carbon Dots* (C-Dots) yang dihasilkan?
2. Bagaimana karakteristik optik dengan menggunakan teknik *microwave*?
3. Apakah bahan C-Dots yang dihasilkan dapat digunakan untuk mendeteksi logam berat besi (Fe^{3+})?
4. Bagaimana bentuk ikatan C-Dots dengan menggunakan metode *Fourier Transformer Infrared Spectroscopy* (FTIR)?

1.3 Tujuan Penelitian

Tujuan dilakukannya penelitian ini adalah sebagai berikut:

1. Untuk mengetahui pengaruh variasi konsentrasi larutan gula terhadap kualitas C-Dots yang dihasilkan.
2. Untuk mengetahui karakteristik optik dengan menggunakan teknik *microwave*.
3. Untuk mengetahui apakah bahan C-Dots yang dihasilkan dapat digunakan untuk mendeteksi logam berat besi (Fe^{3+}).
4. Untuk menganalisis bentuk ikatan dari C-Dots dengan menggunakan metode *Fourier Transformer Infrared Spectroscopy* (FTIR).

1.4 Ruang Lingkup Penelitian

Pada penelitian ini perlu dilakukan batasan masalah agar ruang lingkup masalah yang diteliti tidak meluas. Pembatasan masalah pada penelitian ini adalah sebagai berikut:

1. Pembuatan C-Dots dengan variasi konsentrasi larutan gula dengan menggunakan teknik *microwave*.
2. Pengujian C-Dots menggunakan spektrometer UV-Vis untuk mengetahui spektrum absorbansi.
3. Pengujian C-Dots menggunakan spektrometer PL untuk mengetahui pengaruh intensitas emisi cahaya panjang gelombang yang dihasilkan.
4. Pengujian C-Dots menggunakan FTIR untuk mengetahui gugus fungsi dan ikatan yang terdapat pada C-Dots.

1.5 Manfaat Penelitian

Berdasarkan uraian latar belakang dan tujuan yang telah disebutkan diatas dapat diperoleh manfaat dalam penelitian ini antara lain adalah:

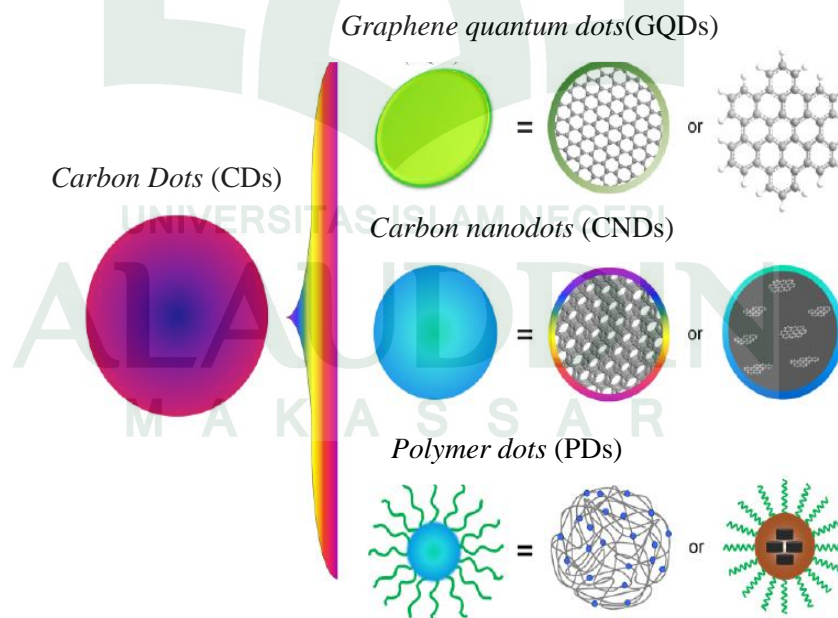
1. Memanfaatkan potensi bahan gula pasir sebagai sumber C-Dots.
2. Mengetahui karakteristik optik C-Dots sehingga dapat dijadikan acuan untuk kajian aplikasi C-Dots salah satunya yaitu untuk mendeteksi keberadaan unsur Fe^{3+} .
3. Mengembangkan ilmu yang berfokus pada kajian nanomaterial.

BAB II

TINJAUAN TEORETIS

2.1 Carbon Dots (C-Dots)

Carbon karbon (C-Dots) merupakan material yang termasuk ke dalam kelas nanopartikel 0 dimensi yang bersifat *fotoluminesensi*, yang berukuran dibawah ~10 nm. Material tersebut pertama kali diperoleh selama pemurnian dari *single-walled (carbon nanotube)* melalui proses *elektroforensis* pada tahun 2004. *Carbon nanodots* (C-Dots) memiliki berbagai keunggulan sifat seperti pancaran *fotoluminisensi* yang tinggi, tidak mudah larut dalam air, tidak beracun dan keberadaannya sangat melimpah di alam. Disamping itu, bahan dasar pembuatan material ini sangat melimpah dan murah (Georgakilas dkk, 2015).



Gambar 2.1. Tiga jenis CD fluoresens terdiri dari *graphen quantum dots (GQDs)*, *carbon nanodots (CNDs)*, dan *polymer dots (PDs)* (Sumber: Zhu, dkk. 2014).

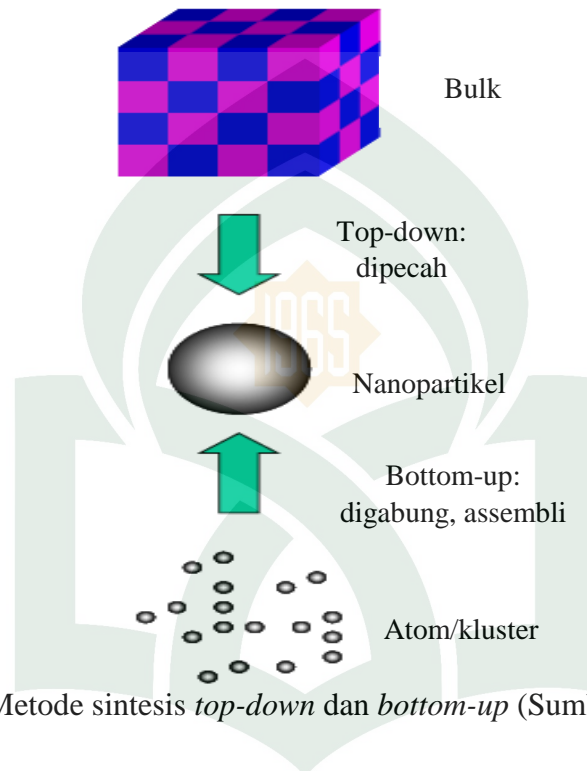
Carbon-Dots sekarang ini telah menarik perhatian para peneliti secara luas, karena kuatnya pendaran (*fluorescence*) yang dimilikinya. Dengan keunggulan sifatnya, kajian intensif mengenai C-Dots terus berkembang dengan cepat hingga saat ini. Ikatan rantai karbon sebagai sumber utama dalam pembuatan C-Dots menjadi fokus penelitian yang diteliti dalam beberapa tahun belakangan ini. Berbagai kemajuan yang telah dicapai mengenai kajian yang meliputi sintesis, sifat dan aplikasi C-Dots telah dipaparkan oleh para peneliti. C-Dots berpotensi sebagai bahan dasar fotokatalis, maupun konversi energi (Baker dkk, 2010).

Dalam pengembangannya, material nano diklasifikasikan menjadi tiga kategori, yaitu material nano berdimensi nol (*nanoparticle*), material nano berdimensi satu (*nano wire*), dan material nano berdimensi dua (*thin films*). Nanopartikel logam dapat digunakan untuk mendeteksi keberadaan logam berat yang merupakan polutan yang tersebar luas di alam. Pengembangan metode sintesis nanopartikel merupakan salah satu bidang yang menarik minat banyak peneliti.

Metode dalam sintesis C-Dots secara umum diklasifikasikan kedalam dua cara, yaitu metode *top-down* dan *bottom-up*. Pada metode *top-down* dibagi menjadi beberapa metode diantaranya metode oksidasi elektrokimia, metode *arc-discharge* dan teknik *laser ablation*. Sedangkan metode *bottom-up* dibagi lagi menjadi metode pemanasan sederhana, metode sintesis pendukung (*supported synthesis*) dan *microwave*. Sintesis nanopartikel dengan cara memecah partikel berukuran besar menjadi partikel berukuran nanometer disebut metode *top down*.

Metode dengan memulai dari atom-atom atau molekul-molekul yang membentuk partikel berukuran nanometer yang dikehendaki disebut metode *bottom-up*.

Kedua metode sintesis nanopartikel ditunjukkan pada gambar 2.2 berikut (Abdullah, 2008).



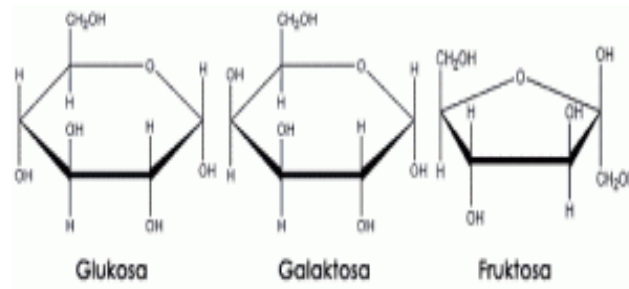
Gambar 2.2. Metode sintesis *top-down* dan *bottom-up* (Sumber: Abdullah, 2008).

2.2 Gula

Menurut Darwin, (2013) gula adalah suatu karbohidrat sederhana karena dapat larut dalam air dan langsung diserap tubuh untuk diubah menjadi energi. Secara umum, gula dibedakan menjadi dua, yaitu:

2.2.1 Monosakarida

Monosakarida pada umumnya terasa manis. Dalam bahan makanan hanya tiga jenis monosakarida yang mempunyai arti gizi yaitu *glukosa*, *fruktosa* dan *galaktosa*.



Gambar 2.3. Monosakarida (Sumber: Darwin, 2013).

a. Glukosa

Glukosa dinamakan juga *dekstrosa* atau gula anggur, terdapat luas di alam dalam jumlah sedikit, yaitu di dalam sayur, buah, sirup jagung, sari pohon dan bersamaan dengan *fruktosa* dalam madu. Tetapi *glukosa* memegang peranan sangat penting dalam ilmu gizi. *Glukosa* merupakan hasil akhir dari pencernaan *pati*, *sukrosa*, *maltose* dan *laktosa* pada hewan dan manusia. Dalam proses metabolisme, *glukosa* merupakan bentuk karbohidrat yang beredar di dalam sel merupakan sumber energi. Tingkat kemanisan *glukosa* hanya separuh dari sukrosa, sehingga dapat digunakan lebih banyak untuk tingkat kemanisan yang sama.

b. Fruktosa

Fruktosa dinamakan juga *levulosa* atau gula buah, adalah gula paling manis. *Fruktosa* mempunyai rumus kimia yang sama dengan *glukosa*, $C_6H_{12}O_6$, namun strukturnya berbeda. Susunan atom dalam fruktosa merangsang kecapan pada lidah sehingga menimbulkan rasa manis. Gula ini terdapat dalam madu bersama glukosa, buah, nektar bunga dan juga di dalam sayur. *Fruktosa* dapat diolah dari pati dan digunakan secara komersial sebagai pemanis. Minuman

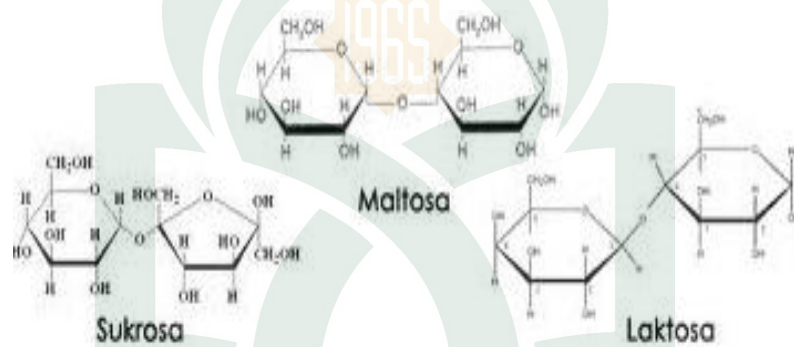
ringan banyak menggunakan sirup jagung tinggi *fruktosa* sebagai bahan pemanis di dalam tubuh, *fruktosa* merupakan hasil pencernaan *sukrosa*.

c. Galaktosa

Galaktosa tidak terdapat bebas di alam seperti halnya glukosa dan fruktosa, akan tetapi terdapat dalam tubuh sebagai hasil pencernaan laktosa.

2.2.2 Disakarida

Ada empat jenis disakarida, yaitu *sukrosa* atau *sakarosa*, *maltosa*, *laktosa*, dan *trehalosa*.



Gambar 2.4. Disakarida (Sumber: Darwin, 2013).

a. Sukrosa

Sukrosa atau sakarosa dinamakan juga gula tebu atau gula bit. Secara komersial 99 % kandungan gula pasir adalah *sukrosa* melalui proses penyulingan dan kristalisasi. Gula merah yang banyak digunakan di Indonesia terbuat dari tebu, kelapa melalui proses penyulingan yang tidak sempurna. Bila dicerna atau dihidrolisis, sukrosa pecah menjadi satu unit *fruktosa*. Pada pembuatan sirup sebagian sukrosa (gula pasir) akan terurai menjadi *glukosa* dan *fruktosa*, yang disebut gula invert. Gula invert secara alami terdapat didalam madu dan rasanya lebih manis daripada *sukrosa*.

b. Maltosa

Maltosa (gula malt) tidak terdapat bebas di alam. *Maltosa* terbentuk pada setiap pemecahan pati, seperti yang terjadi pada tumbuh-tumbuhan bila benih atau bijian berkecambah dan di dalam usus manusia pada pencernaan pati. Dalam proses berkecambah pati yang terdapat dalam padi-padian pecah menjadi *maltosa*, untuk kemudian diuraiakan menjadi unit-unit glukosa tunggal sebagai makanan bagi benih yang sedang tumbuh. Produksi bir terjadi bila *maltosa* difermentasi menjadi alkohol. Bila dicerna atau dihidrolisis, *maltosa* pecah menjadi dua unit glukosa.

c. Laktosa

Laktosa (gula susu) hanya terdapat dalam susu dan terdiri atas satu unit glukosa dan satu unit galaktosa. Kadar *laktosa* pada susu sapi adalah 6,8 gram per 100 ml. *Laktosa* adalah gula yang rasanya paling tidak manis (seperenam dari manis *glukosa*) dan lebih sukar larut daripada *disakarida* lain.

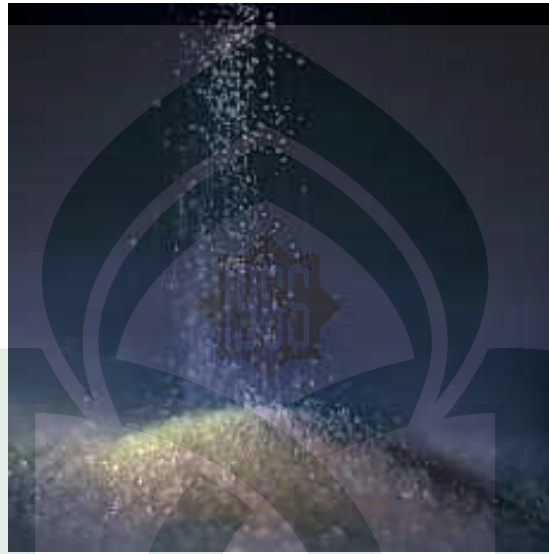
d. Trehalosa

Trehalosa terdiri atas dua molekul *glukosa* dan dikenal sebagai gula jamur. Sebanyak 15 % bagian kering jamur terdiri atas *trehalosa*. *Trehalosa* juga terdapat dalam serangga.

2.3 Gula Pasir

Gula pasir merupakan jenis gula yang digunakan dalam penelitian ini. Gula pasir berasal dari cairan sari tebu. Setelah dikristalkan, sari tebu akan mengalami kristalisasi dan berubah menjadi butiran gula berwarna putih bersih atau putih agak kecoklatan (*raw sugar*). Gula pasir merupakan salah satu

karbohidrat sederhana yang sulit untuk dicerna dan diubah menjadi energi karena gula pasir mengandung jenis gula *disakarida* yaitu *sukrosa*, sehingga dapat menjadi gula darah dengan sangat cepat dan akan menjadi tidak sehat bila dikonsumsi secara berlebihan.



Gambar 2.5. Gula pasir (Sumber: Darwin, 2013).

Tabel 2.1 Komposisi zat gizi gula pasir (per 100 gram berat bahan)

Zat Gizi	Gula Pasir
Energi (Kkal)	364
Protein (g)	0
Lemak (g)	0
Karbohidrat (g)	94
Kalsium (mg)	5
Fosfor (mg)	1

Sumber: Darwin, 2013.

2.4 Kandungan Gula Pasir

Gula pasir adalah bahan makanan dan minuman yang biasa dikonsumsi oleh masyarakat Indonesia. Gula pasir mengandung energi sebesar 364 kKal, protein 0 gram, karbohidrat 94 gram, lemak 0 gram, kalsium 5 miligram, fosfor 1 miligram, dan zat besi 0 miligram. Selain itu didalam gula pasir juga terkandung vitamin A sebanyak 0 miligram, vitamin B1 0 miligram dan vitamin C 0 miligram. Hasil tersebut didapat dari melakukan penelitian terhadap 100 gram gula pasir (<http://www.organisasi.org>).

Pada penelitian ini sampel yang digunakan adalah gula pasir. Gula pasir sifatnya manis dan mengandung glukosa sehingga dalam ayat ini gula pasir dikaitkan dengan “madu” karena madu juga mengandung glukosa dan rasanya yang manis. Arti kata “yang bermacam-macam warnanya” ini dikaitkan dengan variasi sampel gula pasir yang digunakan yaitu ada tiga variasi konsentrasi larutan gula pasir dan menghasilkan warna yang sedikit berbeda. Sebagaimana firman Allah dalam Q.S Al-Nahl/16: 69, yang berbunyi yaitu:

ثُمَّ كُلِي مِنْ كُلِّ الثَّمَرَاتِ فَاسْلُكِي سُبُلَ رَبِّكِ ذُلُلًا ۗ تَخْرُجُ مِنْ بَطُونِهَا شَرَابٌ مُخْتَلِفٌ أَلْوَانُهُ فِيهِ شِفَاءٌ لِلنَّاسِ ۗ إِنَّ فِي ذَٰلِكَ لَآيَةً لِّقَوْمٍ يَتَفَكَّرُونَ ﴿٦٩﴾

Terjemahnya:

Kemudian makanlah dari tiap-tiap (macam) buah-buahan dan tempuhlah jalan Tuhanmu yang telah dimudahkan (bagimu). Dari perut lebah itu keluar minuman (madu) yang bermacam-macam warnanya, di dalamnya terdapat obat yang menyembuhkan bagi manusia. Sesungguhnya pada yang demikian itu benar-benar terdapat tanda (kebesaran Tuhan) bagi orang-orang yang memikirkan (Kementerian Agama RI, 2014).

Menurut tafsir Ibnu Katsir kata “yakhruju mim buthuunihaa syaraabum mukhtalifun alwaanuhuu fihi syifaaul lin naas” yang berarti dari perut lebah itu keluar minuman (madu) yang bermacam-macam warnanya, didalamnya terdapat obat yang menyembuhkan bagi manusia. Ada yang berwarna putih, kuning, merah, dan warna-warna lainnya yang indah sesuai dengan lingkungan dan makanannya. Firman-Nya “Fiihi syifaa’ linnas” yang berarti di dalamnya terdapat obat yang menyembuhkan bagi manusia, maksudnya di dalam madu itu terdapat obat penyembuh bagi manusia. Sebagian orang yang berbicara tentang thibbun nabawi (ilmu kedokteran Nabi) mengatakan, jika Allah mengatakan “Fiihis syifaa’ Linnas,” berarti madu itu menjadi obat bagi segala macam penyakit. Tetapi Dia mengatakan “Fiihi Syifaa’ linnas,” yang berarti bahwa madu itu bisa dipergunakan untuk obat penyakit kedinginan, karena madu itu panas. Penyakit itu selalu diobati dengan lawannya. Dalil yang menunjukkan bahwa yang dimaksud dengan firman Allah “Fiihi Syifaa’ linnas,” di dalamnya terdapat obat yang menyembuhkan bagi manusia, yaitu madu (Abdullah, 2015).

Menurut pendapat peneliti surah Al-Nahl ayat 69, berkaitan dengan penelitian ini karena didalam surah Al-Nahl terdapat kata “syaraabu” yang berarti minuman (madu). Madu merupakan produk utama yang dihasilkan oleh lebah, dan juga sebagai sumber energi yang sangat baik karena mengandung gula-gula sederhana yang dapat dimanfaatkan oleh tubuh. Untuk madu 100 gram mengandung 82,4 gram atau tiap gramnya sebanyak 0,824 gram. Didalam madu terdapat gula yang alami yaitu gula *invert* yang berasal dari nektar bunga dan memiliki konsentrasi gula yang sangat tinggi yaitu fruktosa (sekitar 38,2 %) dan

glukosa (sekitar 31,3 %). Ayat di atas berbicara tentang madu dimana kandungan dalam madu mengandung banyak gula karena rasanya yang manis sehingga ayat ini berkaitan dengan sampel penelitian ini yaitu gula pasir.

2.5 Teknik Microwave

Metode yang sering digunakan dalam sintesis C-Dots adalah metode *microwave*. Gelombang mikro telah diakui sebagai gelombang elektromagnetik yang secara luas digunakan untuk penelitian ilmiah sebagai metode untuk sintesis kimia. Dengan perkembangan metode sintesis untuk nanomaterial anorganik, pendekatan melalui metode *microwave* telah diperkenalkan secara bertahap dan berperan penting dalam proses persiapan sampel dikarenakan pada proses ini menggunakan gelombang mikro yang dapat mempermudah dan mempercepat proses sintesis. Hasil dari metode *microwave* lebih unggul, tidak banyak mengurangi kadar air dalam larutan karena prosesnya digetarkan (vibrasi) sedangkan dalam metode pemanasan sederhana hasilnya air menguap lebih cepat atau mengalami proses evaporasi yaitu proses hilangnya gugus hidroksil. Sampai saat ini, telah berhasil dilakukan berbagai penelitian yang mengkaji sintesis nanomaterial dengan metode *microwave*. *Microwave* didefinisikan sebagai gelombang elektromagnetik dengan panjang gelombang vakum dengan rentang yang digunakan antara 0,1 sampai 100 cm, atau ekuivalen dengan frekuensi antara 0,3-300 GHz Jain, (2011). *Microwave* domestik dan industri umumnya dioperasikan dengan 2,45 GHz dengan panjang gelombang 12,2 cm dan energi 1.02×10^{-5} eV (Jacob dan Boey, 1995).

Area spektra elektromagnetik irradiasi *microwave* berada antara radiasi infra merah dan gelombang radio. Irradiasi *microwave* merupakan metode cepat dan efisien dalam sintesis dengan variasi senyawa karena selektivitas absorpsi dari energi *microwave* pada molekul polar Surati *et al.*, (2012). Pemanasan *microwave* membutuhkan waktu reaksi lebih singkat, mengurangi konsumsi energi dan hasil yang lebih baik dengan mencegah aglomerasi pada pembentukan partikel (Irvani *et al.*, 2013).

2.6 Perspektif Al-qur'an tentang Logam Berat Besi (Fe^{3+})

Logam berat Fe^{3+} merupakan besi. Besi adalah salah satu unsur yang dinyatakan secara jelas dalam Q.S Al-Hadid/ 57:25, yang berbunyi yaitu:

لَقَدْ أَرْسَلْنَا رُسُلَنَا بِالْبَيِّنَاتِ وَأَنْزَلْنَا مَعَهُمُ الْكِتَابَ وَالْمِيزَانَ لِيَقُومَ النَّاسُ بِالْقِسْطِ وَأَنْزَلْنَا الْحَدِيدَ فِيهِ بَأْسٌ شَدِيدٌ وَمَنْفَعٌ لِلنَّاسِ وَلِيَعْلَمَ اللَّهُ مَنْ يَنْصُرُهُ وَرُسُلَهُ بِالْغَيْبِ إِنَّ اللَّهَ قَوِيٌّ عَزِيزٌ ﴿٢٥﴾

Terjemahnya:

Sesungguhnya Kami telah mengutus rasul-rasul Kami dengan membawa bukti-bukti yang nyata dan telah Kami turunkan bersama mereka kitab dan neraca (keadilan) supaya manusia dapat melaksanakan keadilan. Dan Kami ciptakan besi yang padanya terdapat kekuatan yang hebat dan berbagai manfaat bagi manusia. (supaya mereka mempergunakan besi itu) dan supaya Allah mengetahui siapa yang menolong (agama)-Nya dan rasul-rasul-Nya padahal Allah tidak dilihatnya. Sesungguhnya Allah maha kuat lagi maha kuat lagi maha perkasa (Kementerian Agama RI, 2014).

Menurut tafsir Ibnu Katsir kata “waanzalnal hadiida fihi ba’sun syadiid” yaitu Dan Kami ciptakan besi yang padanya terdapat kekuatan yang hebat. Maksudnya kami telah membuat besi untuk menekan orang-orang yang menolak kebenaran dan menentangnya setelah hujjah disampaikan kepada mereka. Oleh karena itu, Rasulullah menetap di Makkah setelah mendapatkan risalah kenabian

selama tiga belas tahun, selama itu telah diwahyukan kepada beliau surat-surat makkiyah yang semua itu merupakan bantahan terhadap orang-orang musyrik, penerangan dan penjelasan mengenai tauhid sekaligus sebagai bukti (Abdullah, 2015).

Sedangkan menurut pendapat peneliti, ayat yang berkaitan dengan penelitian ini adalah kata “Al-haadid” yang berarti besi. Pada penelitian ini logam yang digunakan untuk mendeteksi logam berat adalah logam berat besi sehingga kata besi dalam ayat ini dikaitkan dengan penelitian ini.

Sedangkan ayat Al-qur’an yang menjelaskan secara khusus tentang logam terdapat dalam Q.S Al-Ra’d/ 13:17, yang berbunyi yaitu:

أَنْزَلَ مِنَ السَّمَاءِ مَاءً فَسَالَتْ أَوْدِيَةٌ بِقَدَرِهَا فَاحْتَمَلَ السَّيْلُ زَبَدًا رَابِيًا وَمِمَّا يُوقِدُونَ عَلَيْهِ فِي النَّارِ ابْتِغَاءَ حَلِيَّةٍ أَوْ مَتَاعٍ زَبَدٌ مِثْلَهُ ۗ كَذَلِكَ يَضْرِبُ اللَّهُ الْحَقَّ وَالْبَاطِلَ ۚ فَأَمَّا الزَّبَدُ فَيَذْهَبُ جُفَاءً ۗ وَأَمَّا مَا يَنْفَعُ النَّاسَ فَيَمْكُثُ فِي الْأَرْضِ ۗ كَذَلِكَ يَضْرِبُ اللَّهُ الْأَمْثَالَ ﴿١٧﴾

Terjemahnya:

Allah telah menurunkan air (hujan) dari langit, maka mengalirlah air di lembah-lembah menurut ukurannya, maka arus itu membawa buih yang mengambang. Dan dari apa (logam) yang mereka lebur dalam api untuk membuat perhiasan atau alat-alat, ada (pula) buihnya seperti buih arus itu. Demikianlah Allah membuat perumpamaan (bagi) yang benar dan yang bathil. Adapun buih itu, akan hilang sebagai sesuatu yang tak ada harganya; Adapun yang memberi manfaat kepada manusia, Maka ia tetap di bumi. Demikianlah Allah membuat perumpamaan-perumpamaan (Kementrian Agama RI, 2014).

Menurut tafsir Ibnu Katsir kata “wa mimmaa yuuquduuna ‘alaihi finnaaribtighaa-a hilyatin au mataa’in” dan dari apa (logam) yang mereka lebur dalam api untuk membuat perhiasan atau alat-alat. Biji logam yang dilebur dalam api untuk membuat perhiasan seperti emas dan perak, atau kuningan dan besi

untuk membuat alat-alat, itu pasti akan terjadi padanya buih yang timbul, seperti halnya buih yang timbul dari air yang mengalir dilembah (Abdullah, 2015).

Menurut pendapat peneliti kata “waamimma” bermakna dan dari apa (logam) merujuk pada kata logam karena penelitian ini bertujuan untuk mendeteksi logam berat besi (Fe^{3+}) sehingga peneliti mengambil ayat ini karena membahas tentang logam besi secara umum.

2.7 Analisis Pengujian Sampel

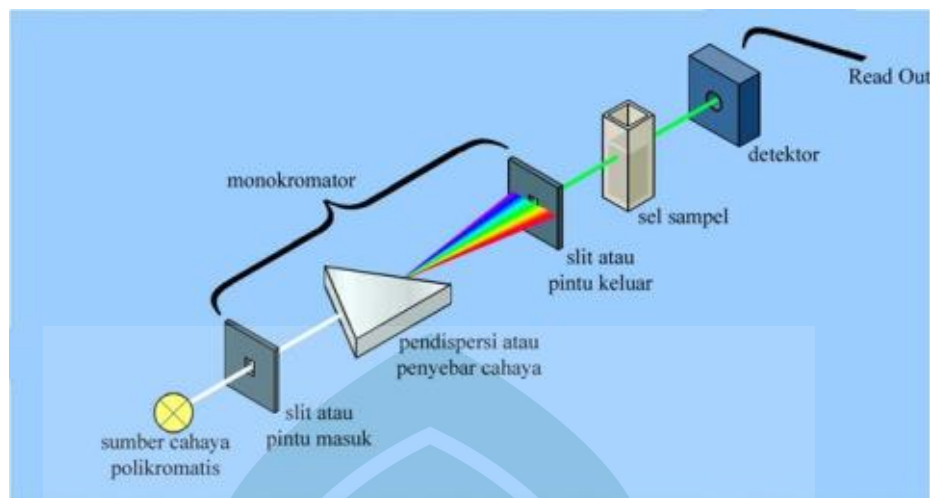
2.7.1 Spektrometer Ultra-Violet Visible (Uv-Vis)

Spektrofotometer adalah alat untuk mengukur transmittan atau absorban suatu sampel sebagai fungsi panjang gelombang. Sedangkan pengukuran menggunakan spektrofotometer ini metode yang digunakan disebut dengan spektrofotometri (Basset, 1994).

Spektrometer Uv-Vis merupakan teknik yang digunakan untuk menentukan cahaya yang terserap dan tersebar oleh sampel. Dalam bentuk sederhana sampel ditempatkan antara sumber cahaya dan fotodetektor dan intensitas cahaya ditentukan sebelum dan setelah melalui sampel.

a. Instrumen Spektrofotometri Uv-Vis

Peralalatan yang digunakan dalam spektrofotometri disebut spektrofotometer. Cahaya yang dimaksud berupa cahaya visible, UV dan inframerah. Sedangkan materi dapat berupa atom dan molekul namun yang lebih berperan adalah elektron valensi (<https://wocono.wordpress.com>).



Gambar 2.6. Prinsip kerja spektrofotometer (Sumber: Underwood, 2002).

1. Sumber Cahaya

Sumber cahaya pada spektrofotometer harus memiliki pancaran radiasi yang stabil dan intensitasnya tinggi. Sumber cahaya pada spektrofotometer Uv-Vis ada dua macam yaitu:

- a. Lampu Tungsten (Wolfram), lampu ini digunakan untuk mengukur sampel pada daerah tampak. Bentuk lampu ini mirip dengan bola lampu pijar biasa. Memiliki panjang gelombang antara 350-2200 nm. Spektrum radiasinya berupa garis lengkung.
- b. Lampu Deuterium, ini digunakan pada panjang gelombang 190-380 nm. Spektrum energi radiasinya lurus, dan digunakan untuk mengukur sampel yang terletak pada daerah Uv.

2. Wadah Sampel

Kebanyakan spektrofotometri melibatkan larutan dan karenanya kebanyakan wadah sampel adalah sel untuk menaruh cairan ke dalam berkas cahaya spektrofotometer. Sel itu haruslah meneruskan energi cahaya dalam daerah

spektral yang diminati, sehingga sel kaca melayani daerah tampak, sel kuarsa atau kaca silika tinggi istimewa untuk daerah ultraviolet.

3. Monokromator

Monokromator adalah alat yang akan memecah cahaya polikromatis menjadi cahaya tunggal (monokromatis) dengan komponen panjang gelombang tertentu. Bagian-bagian monokromator, yaitu:

a. Prisma

Prisma akan mendispersikan radiasi elektromagnetik sebesar mungkin supaya didapatkan resolusi yang baik dari radiasi polikromatis.

b. Grating (kisi difraksi)

Kisi difraksi memberi keuntungan lebih bagi proses spektroskopi. Dispersi sinar akan disebarkan merata, dengan pendispersi yang sama, hasil dispersi akan lebih baik. Selain itu kisi difraksi dapat digunakan dalam seluruh jangkauan spektrum.

c. Celah optis

Celah ini digunakan untuk mengarahkan sinar monokromatis yang diharapkan dari sumber radiasi. Apabila celah berada pada posisi yang tepat, maka radiasi akan dirotasikan melalui prisma, sehingga diperoleh panjang gelombang yang diharapkan.

d. Filter

Filter berfungsi untuk menyerap warna komplementer sehingga cahaya yang diteruskan merupakan cahaya berwarna yang sesuai dengan panjang gelombang yang dipilih.

4. Detektor

Detektor akan menangkap sinar yang diteruskan oleh larutan. Sinar kemudian diubah menjadi sinyal listrik oleh amplifier dan dalam rekorder dan ditampilkan dalam bentuk angka-angka pada reader (komputer). Detektor dapat memberikan respons terhadap radiasi pada berbagai panjang gelombang ada beberapa cara untuk mendeteksi substansi yang telah melewati kolom. Metode umum yang mudah dipakai untuk menjelaskan yaitu penggunaan serapan ultra-violet. Banyak senyawa-senyawa organik menyerap sinar UV dari beberapa panjang gelombang.

5. Visual Display/Recorder

Merupakan sistem baca yang memperagakan besarnya isyarat listrik, menyatakan dalam bentuk % transmittan maupun absorbansi.

Spektroskopi adalah studi mengenai interaksi antara cahaya dengan atom dan molekul. Dasar Spektroskopi UV-Vis adalah serapan cahaya, radiasi cahaya atau elektromagnet dapat dianggap menyerupai gelombang. Bila cahaya jatuh pada senyawa, maka sebagian dari cahaya diserap oleh molekul-molekul sesuai dengan struktur dari molekul senyawa tersebut. Serapan cahaya oleh molekul dalam daerah spektrum UV-Vis tergantung pada struktur elektronik dari molekul (Underwood, 2002).

Instrumen ini beroperasi dengan melewatkan seberkas sinar melalui sampel dan mengukur panjang gelombang cahaya yang mencapai detektor. Panjang gelombang memberi nilai informasi tentang struktur kimia dan intensitasnya terkait dengan jumlah molekul, yang berarti kuantitas atau

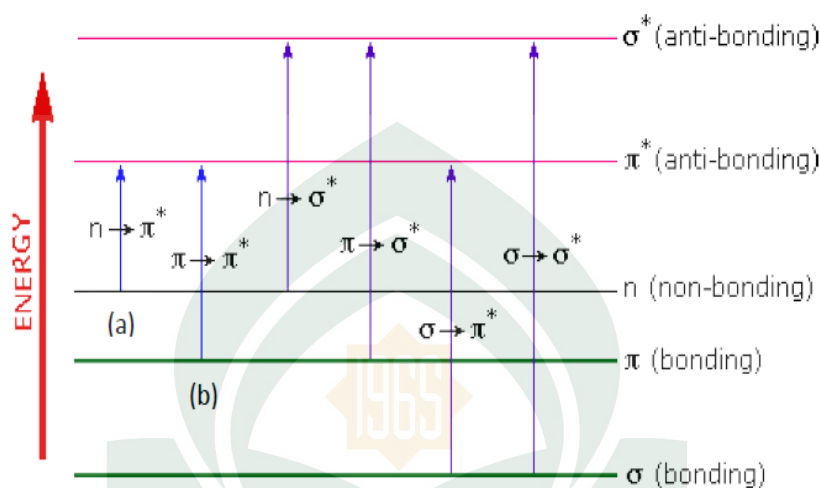
konsentrasi. Informasi analitik dapat diungkap dalam istilah transmitansi, absorbansi atau daya serap energi (Patel, 2015).

Hasil karakterisasi menggunakan UV-Vis adalah grafik hubungan antara panjang gelombang dengan absorbansi. Radiasi UV-Vis yang memiliki frekuensi yang sama dengan partikel sampel akan beresonansi, sehingga radiasi akan diserap oleh sampel. Absorbansi oleh sampel akan mengakibatkan terjadinya transisi elektron, yaitu elektron-elektron dari orbital dasar tereksitasi ke orbital yang lebih tinggi. Ketika elektron kembali ke orbital asal, elektron tersebut memancarkan energi dan energi itulah yang terdeteksi sebagai puncak-puncak absorbansi (Vita, 2015). Karakterisasi spektrofotometer UV-Vis mengacu pada penelitian Maheswari, *et al*; (2012), dengan rentang 300-700 nm menggunakan kuvet *quartz* dengan blanko akuades.

Absorpsi pada C-Dots diamati pada rentang UV, yang menunjukkan transisi dari *core* dan *surface state* $n-\pi^*$ dan $\pi-\pi^*$ C=C, gugus fungsi dan atau efek ukuran kuantum. C-Dots yang disintesis dengan metode fisika dan kimia menunjukkan satu atau dua puncak absorbansi pada 260-360 nm dalam rentang UV untuk Spektroskopi UV-Vis (Soni dan Maria 2016).

Transisi elektron terjadi akibat adanya penyerapan gelombang cahaya atau elektromagnetik oleh sampel. Transisi yang meliputi elektron π , σ , dan terjadi pada molekul organik dan sebagian kecil anion anorganik. Molekul tersebut mengabsorpsi cahaya elektromagnetik karena adanya elektron valensi yang akan tereksitasi ke tingkat energi yang lebih tinggi (Kristianingrum, 2016).

Diagram yang menunjukkan berbagai jenis eksitasi elektronik (transisi elektron) yang mungkin terjadi pada molekul organik ditunjukkan oleh gambar 2.8.



Gambar 2.7. Berbagai jenis eksitasi elektronik (Sumber : Emel, 2011)

Berdasarkan enam transisi yang telah diuraikan diatas, hanya dua energi terendah (panah a dan b) yang dicapai oleh energi yang tersedia di spektrum 200 sampai 800 nm. Sebagai aturan, kenaikan elektron akan berasal dari orbital molekuler yang diduduki tertinggi ke orbital molekuler kosong yang paling rendah dan spesies yang dihasilkan disebut keadaan tereksitasi (Emel, 2011).

Pada setiap jenis transisi elektronik yang terjadi, terdapat karakter dan melibatkan energi yang berbeda. Suatu kromofor dengan pasangan elektron bebas (n) dapat menjalani transisi dari orbital non-ikatan (n) ke orbital anti-ikatan, baik pada orbital sigma bintang (σ^*) maupun phi bintang (π^*). Sedangkan kromofor dengan elektron ikatan rangkap (menghuni orbital phi) akan menjalani transisi dari orbital π ke orbital π^* . Demikian seterusnya untuk jenis transisi yang lain. Dalam penentuan struktur molekul, transisi $\sigma \rightarrow \sigma^*$ tidak begitu penting karena

puncak absorpsi berada pada daerah ultraviolet vakum yang berarti tidak terukur oleh peralatan atau instrumen pada umumnya. Walaupun transisi $\pi \rightarrow \pi^*$ Pada ikatan ganda terisolasi mempunyai puncak absorpsi didaerah UV vakum tetapi transisi $\pi \rightarrow \pi^*$ tergantung pada konjugasi ikatan ganda dengan suatu gugus fungsi substituen. Akibatnya transisi $\pi \rightarrow \pi^*$ pada ikatan ganda terkonjugasi mempunyai puncak absorpsi pada daerah ultraviolet dekat, dengan panjang gelombang lebih besar dari 200 nm. Dengan demikian transisi yang penting dalam penentuan struktur molekul adalah transisi $\pi \rightarrow \pi^*$ serta beberapa transisi $n \rightarrow \pi^*$ dan $n \rightarrow \sigma^*$ (Emel, 2011).

b. Prinsip Kerja Ultraviolet-Visible (Uv-Vis)

Cahaya yang berasal dari lampu deuterium maupun wolfram yang bersifat polikromatis diteruskan melalui lensa menuju ke kromator pada spektrofotometer dan filter cahaya pada fotometer. Monokromator kemudian akan mengubah cahaya polikromatis menjadi cahaya monokromatis (tunggal). Berkas-berkas cahaya dengan panjang tertentu kemudian akan dilewatkan pada sampel yang mengandung suatu zat dalam konsentrasi tertentu. Oleh karena itu, terdapat cahaya yang diserap (absorpsi) dan ada pula yang dilewatkan. Cahaya yang dilewatkan ini kemudian diterima oleh detektor. Detektor kemudian akan menghitung cahaya yang diterima dan mengetahui cahaya yang diserap oleh sampel. Cahaya yang diserap sebanding dengan konsentrasi zat yang terkandung dalam sampel sehingga akan diketahui konsentrasi zat dalam sampel secara kuantitatif (<https://wocono.wordpress.com>). Berikut adalah tabel spektrum warna cahaya tampak.

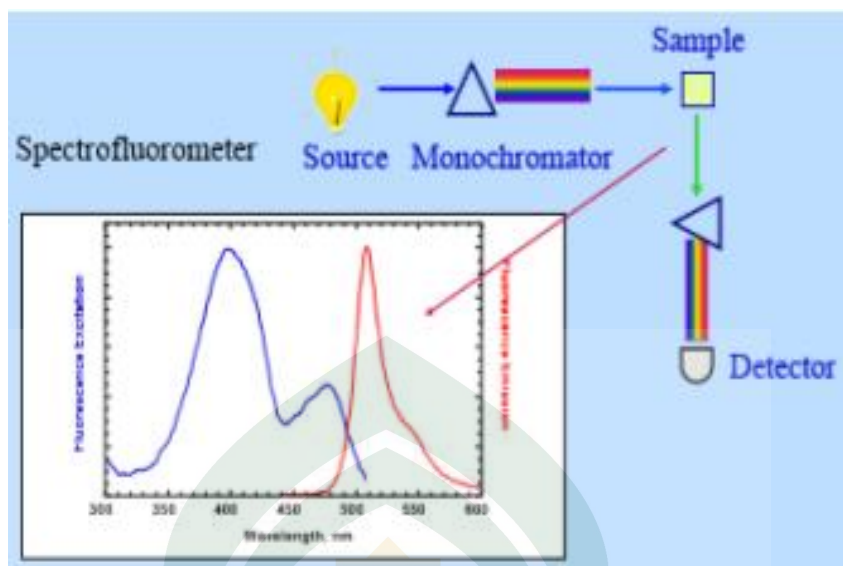
Tabel 2.2 Perbedaan panjang gelombang cahaya tampak

Spektrum cahaya tampak	
Warna	Panjang gelombang (nm)
Merah	625-740
Jingga	590-625
Kuning	565-590
Hijau	520-565
Biru	435-520
Nila	400-435
Ungu	380-400

Sumber: <http://physics.about.com/od/lightoptics/a/vislightspec.htm>

2.7.2 Photoluminescence (PL)

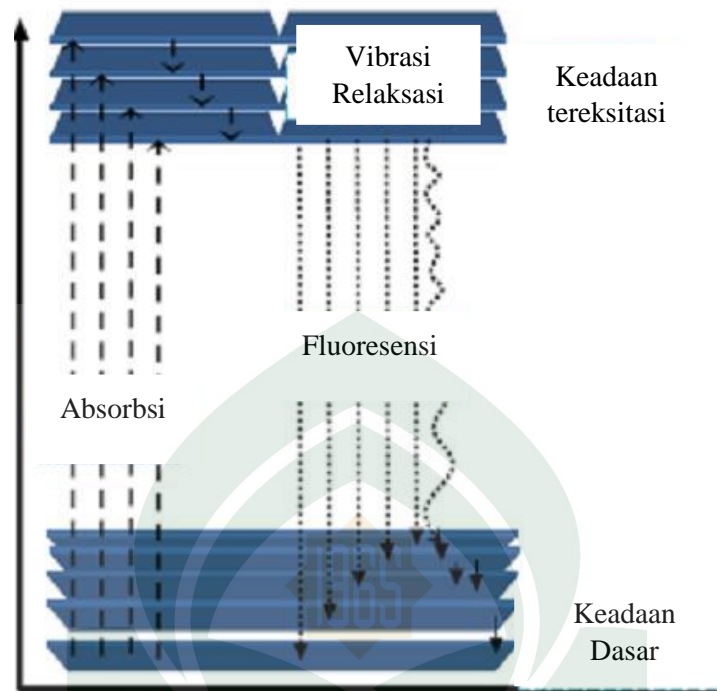
Cahaya dapat dihasilkan ketika atom atau ion tereksitasi akibat menerima energi. Energi yang diserap tersebut bisa dalam bentuk energi panas, listrik, atau cahaya. Atom/ion yang tereksitasi menjadi tidak stabil. Oleh karena itu, atom/ion akan melepas energi tersebut dan kembali ke kondisi awalnya. Energi tersebut dapat dilepas secara radiatif atau non radiatif. Salah satu peristiwa non-radiatif tersebut adalah *vibrational relaxation*, dimana elektron melepas energinya dalam bentuk energi kinetik sehingga elektron atau molekul lain turun menuju *vibrational state* yang lebih rendah. Peristiwa ini dapat diikuti oleh pelepasan energi radiatif yaitu *fluoresens*, dimana elektron turun menuju *ground state* sambil melepas energi dalam bentuk foton atau cahaya (Jenei, 2007).



Gambar 2.8. Contoh set up eksperimen dan *spectrum photoluminescence*
(Sumber: Underwood, 2002).

Gambar diatas menunjukkan salah satu contoh setup eksperimen fotoluminesensi. Pada suatu percobaan, sampel dapat dieksitasi pada seluruh panjang gelombang *visible* sehingga akan didapatkan spektrum absorpsi sampel. Selain itu, sampel dapat dieksitasi pada beberapa panjang gelombang saja. Untuk yang terakhir, maka yang ditinjau dari percobaan *fotoluminesensi* tersebut hanya spektrum dari emisi oleh sampel. Baik dari spektrum emisi ataupun absorpsi, dapat diketahui kandungan zat-zat dalam sampel tersebut yang dapat berpendar (Jenei, 2007).

Luminesensi merupakan fenomena dari emisi cahaya pada suatu zat. Untuk dapat berlangsung luminesens harus menggunakan sumber eksitasi seperti lampu UV atau laser. *Luminesensi* terjadi ketika elektron pada material target kembali ke keadaan dasarnya setelah dieksitasi oleh energi dari sumber eksitasi dan kehilangan energi sebagai foton seperti diilustrasikan pada gambar 2.9 berikut.



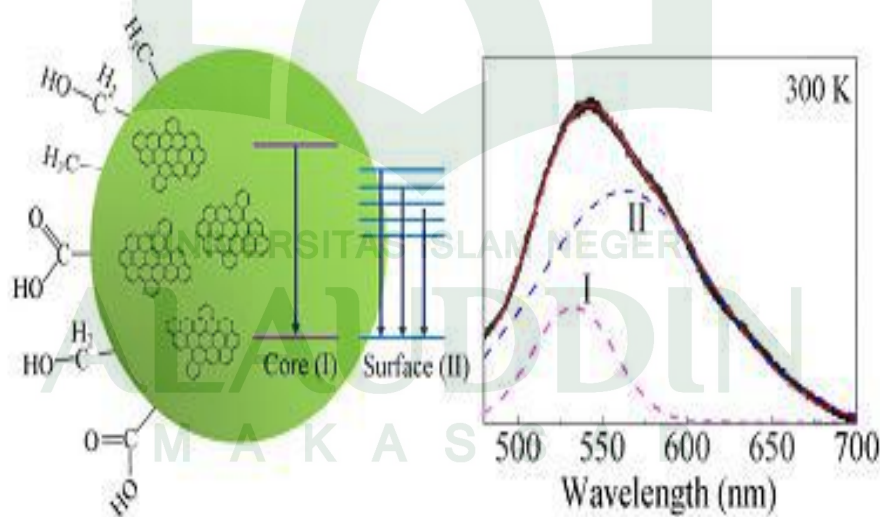
Gambar 2.9. Proses *luminesensi* (Sumber: Kurniawan, 2008).

Transisi elektron dari keadaan dasar ke keadaan tereksitasi terjadi ketika elektron dikenai energi. Kemudian terjadi relaksasi dimana sejumlah energi diemisikan ketika elektron kembali ke keadaan dasar dan dikenal sebagai *luminesensi* (Rahmayanti, 2015).

Spektroskopi *photoluminescence* bersifat *contactless*, serbaguna, tidak merusak, metode optik yang kuat untuk menyelidiki struktur material elektronik. Cahaya diarahkan ke sampel, dimana ia diserap dan menanamkan energi berlebih ke dalam bahan yang disebut proses *photoexcitation*. Salah satu cara kelebihan energi ini bisa dihamburkan oleh sampel melalui emisi cahaya atau *luminescence*. Dalam kasus *photoexcitation*, luminesensi ini disebut *photoluminescence*. Jadi *photoluminescence* adalah emisi spontan cahaya dari bahan di bawah eksitasi optik (Patel, 2015).

Spektrum PL sangat berbeda dengan spektrum penyerapan dalam artian spektrum penyerapan mengukur transisi dari keadaan dasar ke keadaan tereksitasi, sementara *photoluminescence* berurusan dengan transisi dari keadaan tereksitasi ke keadaan dasar. Waktu antara penyerapan dan emisi biasanya sangat singkat. Spektrum eksitasi adalah grafik intensitas emisi versus panjang gelombang eksitasi yang terlihat seperti spektrum penyerapan. Nilai panjang gelombang di mana molekulnya menyerap energi dapat digunakan sebagai panjang gelombang eksitasi yang memberikan emisi yang kuat pada panjang gelombang bergeser merah (*red shift*), dengan nilai biasanya dua kali dari eksitasi panjang gelombang (Patel, 2015).

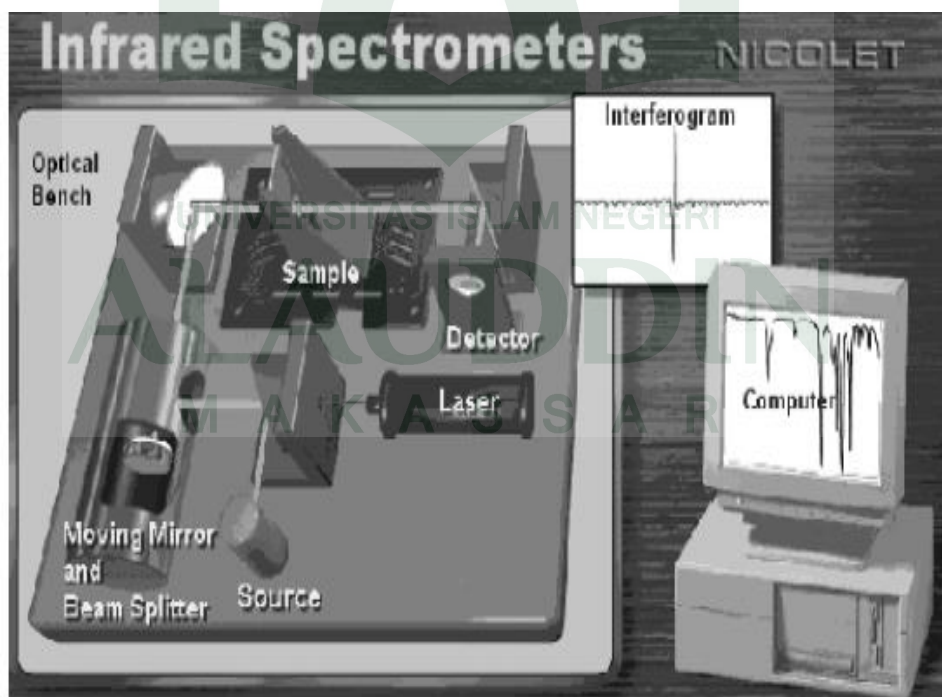
Salah satu contoh hasil karakterisasi PL yang berhubungan dengan struktur C-Dots berupa *core* dan *surface state* seperti pada gambar 2.10 dibawah ini.



Gambar 2.10. Dua pita *fluoresensi* yang diamati dalam C-Dots, yang juga dapat dikaitkan dengan emisi *core* dan *surface state* (Zhu, *et al.* 2015)

2.7.3 Fourier Transformer Infrared Spectroscopy (FTIR)

Fourier Transformer Infrared Spectroscopy (FTIR) adalah kependekan dari *Fourier Transform Infra Red*, termasuk kedalam alat spektroskopi infrared. Prinsip dasarnya adalah radiasi IR (Infra red) melewati/menembus sampel, lalu sampel menyerap energi radiasi tersebut dan ditangkap oleh detektor. Setiap sampel memiliki nilai serapan yang berbeda-beda, seperti sidik jari (tidak ada yang sama). Spektrum FTIR adalah teknik pengukuran untuk mengumpulkan spektrum inframerah. Energi yang diserap sampel pada berbagai frekuensi sinar inframerah direkam, kemudian diteruskan ke interferometer. Sinar pengukuran sampel diubah menjadi interferogram. Perhitungan secara matematika *Fourier Transform* untuk sinyal tersebut akan menghasilkan spektrum yang identik pada spektroskopi inframerah (Tahid, 1994).



Gambar 2.11. Prinsip kerja FTIR (Sumber: Tahid, 1994).

Menurut Griffiths, (1975) FTIR terdiri dari 5 bagian utama yaitu:

- a. Sumber sinar, yang terbuat dari filament nerts atau global yang dipanaskan menggunakan listrik hingga temperatur 1000–1800°C.
- b. Beam *splitter*, berupa material transparan dengan indeks relatif, sehingga menghasilkan 50 % radiasi akan direfleksikan dan 50 % radiasi akan diteruskan.
- c. Interferometer, merupakan bagian utama dari FTIR yang berfungsi untuk membentuk interferogram yang akan diteruskan menuju detektor.
- d. Daerah cuplikan, dimana berkas acuan dan cuplikan masuk ke dalam daerah cuplikan dan masing-masing menembus sel acuan dan cuplikan secara bersesuaian.
- e. Detektor, merupakan piranti yang mengukur energi pancaran yang lewat akibat panas yang dihasilkan. Detektor yang sering digunakan adalah termokopel dan balometer.

Mekanisme yang terjadi pada alat FTIR yaitu sinar yang datang dari sumber sinar akan diteruskan, dan kemudian akan dipecah oleh pemecah sinar menjadi dua bagian yang saling tegak lurus. Sinar ini kemudian dipantulkan oleh dua cermin yaitu cermin diam dan cermin bergerak. Sinar hasil pantulan kedua cermin akan dipantulkan kembali menuju pemecah sinar untuk saling berinteraksi. Dari pemecah sinar, sebagian sinar akan diarahkan menuju cuplikan dan sebagian menuju sumber. Gerakan cermin yang maju mundur akan menyebabkan sinar yang sampai pada detektor akan berfluktuasi. Sinar akan saling menguatkan ketika kedua cermin memiliki jarak yang sama terhadap detektor, dan akan saling

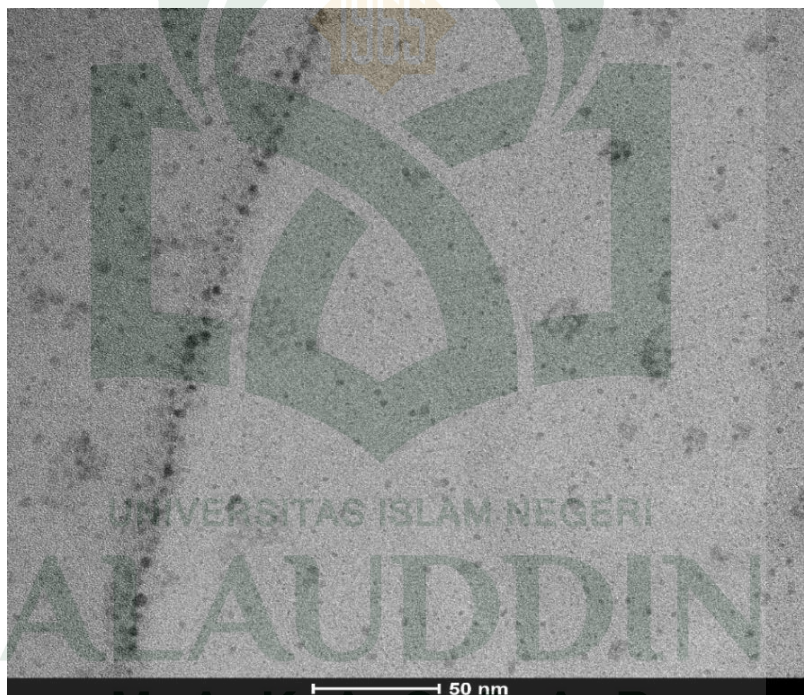
melemahkan jika kedua cermin memiliki jarak yang berbeda. Fluktuasi sinar yang sampai pada detektor ini akan menghasilkan sinyal pada detektor yang disebut *interferogram*. *Interferogram* ini akan diubah menjadi spektra IR dengan bantuan komputer berdasarkan operasi matematika (Tahid, 1994).

Penyelidikan gugus fungsi rantai karbon perlu dilakukan untuk mengkaji keberadaan C-Dots. Gugus fungsi C-Dots diperoleh dari pengukuran *Fourier Transform Infra Red* (FTIR). Hasil pengukuran ini menunjukkan struktur gugus fungsi C-Dots. Hasil pengukuran FTIR dinyatakan dalam spektrum panjang gelombang dan intensitas. Hasil pengukuran FTIR dapat diidentifikasi gugus-gugus fungsi yang muncul. Disamping itu, pergeseran panjang gelombang atau penurunan intensitas akibat perlakuan dalam penelitian mengindikasikan adanya perubahan struktur. Sahu dkk (2012) mengamati keberadaan *functional groups* seperti O-H, C-H dan C=O pada C-Dots yang dihasilkan dari *orange juice*. Spektrum FTIR C-Dots yang dihasilkan dari berbagai sumber karbon. Spektrum FTIR yang terukur biasanya masih teramati gugus-gugus fungsi bahan dasarnya sehingga perubahan pada gugus fungsi dapat menjadi salah satu cara sederhana untuk mengestimasi secara tidak langsung terbentuknya C-Dots.

Penelitian yang telah dilakukan oleh Silma, (2017) menjelaskan bahwa nanopartikel C-Dots telah berukuran nano yang diperoleh dari pengujian TEM. TEM adalah alat yang paling teliti digunakan untuk menentukan ukuran partikel karena resolusinya yang sangat tinggi. Partikel dengan ukuran beberapa nanometer dapat diamati dengan jelas menggunakan TEM. Pada TEM, sampel yang sangat tipis ditembak dengan berkas elektron yang berenergi sangat tinggi

(dipercepat pada tegangan ratusan kV). Berkas elektron dapat menembus bagian yang “lunak” sampel tetapi ditahan oleh bagian keras sampel (seperti partikel). Detektor yang berada di belakang sampel menangkap berkas elektron yang lolos dari bagian lunak sampel. Akibatnya detektor menangkap bayangan yang bentuknya sama dengan bentuk bagian keras sampel (Abdullah dan Khairurrijal, 2009).

Pengujian TEM yang dilakukan (Silma, 2017) dari sampel gula pasir menggunakan metode *microwave* seperti pada gambar 2.12 berikut:



Gambar 2.12. Hasil pengujian TEM C-Dots larutan gula pasir dengan metode *microwave* (Sumber: Silma, 2017)

Berdasarkan gambar 2.12 terlihat bahwa C-Dots larutan gula pasir yang dihasilkan oleh metode *microwave* tersebar merata. Dari pengukuran hasil TEM

dan perhitungan diperoleh variasi ukuran diameter C-Dots seperti pada tabel 2.3 berikut.

Tabel 2.3 Hasil pengukuran diameter C-Dots larutan gula pasir

Ukuran C-Dots pada metode Hydrothermal (nm)	Ukuran C-Dots pada metode microwave (nm)
2,9	1,9
4,4	2,9
5,9	3,8
7,3	4,8

Sumber: Silma, 2017.

BAB III

METODE PENELITIAN

3.1 Tempat dan Waktu dan Penelitian

Penelitian ini telah dilaksanakan pada bulan Desember 2017-Mei 2018 di Laboratorium Mikrostruktur Jurusan Fisika UNM untuk sintesis *microwave*. Pengujian Uv-Vis dan FTIR dilakukan di Laboratorium Kimia UIN Alauddin Makassar dan pengujian PL di Pusat Penelitian Lembaga Ilmu Pengetahuan Indonesia (P2F LIPI).

3.2 Alat dan Bahan Penelitian

3.2.1 Alat

Alat yang digunakan pada penelitian ini adalah sebagai berikut :

- a. *Fourier Transformer Infrared Spectroscopy (FTIR) Thermo Scientific Nicolet iS10.*
- b. *Spectrometer Ultra Violet Visible (UV-Vis) Varian Cary 50 Conc.*
- c. *Spectrometers Photoluminescence (PL) MayP112615 spectrum 2068.*
- d. Microwave 900 W
- e. *Scilogex* (mesin sentrifuge)
- f. *Magnetic Stirrer*
- g. Timbangan digital
- h. Mikro pipet
- i. Wadah *sentrifuge*
- j. Laser 405 nm

- k. Gelas kimia
- l. Kertas saring
- m. Spatula
- n. Labu takar
- o. Erlenmeyer
- p. Botol aqua

3.2.2 Bahan

Bahan yang digunakan pada penelitian ini adalah sebagai berikut:

- a. Gula pasir 20 gram.
- b. Volume aquades 30 ml, 50 ml dan 70 ml.
- c. Logam berat FeCl_3 dengan berbagai konsentrasi yaitu 0,1 M, 0,01 M, 0,001 M, dan 0,0001 M, serta 0.00001 M.
- d. Tissue

3.3 Prosedur Penelitian

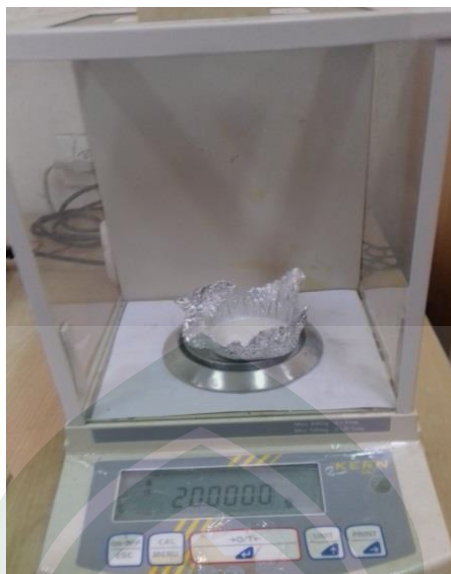
Prosedur kerja pada penelitian ini adalah sebagai berikut:

3.3.1 Preparasi Sampel

3.3.1.1 Pembuatan Larutan Gula Pasir

a. Menimbang Gula Pasir

Langkah yang disiapkan sebelum sintesis adalah menyiapkan bahan-bahan yang akan digunakan pada pembuatan C-Dots. Selanjutnya menimbang gula pasir sebanyak tiga kali dengan komposisi gula yang sama yaitu 20 gram seperti pada gambar 3.1. Kemudian mengukur aquades menggunakan gelas kimia masing-masing pada volume 30 ml, 50 ml dan 70 ml.



Gambar 3.1. Timbangan digital

b. Proses Homogenisasi

Mencampur gula pasir dengan aquades masing-masing pada volume yang berbeda yaitu sebanyak 30 ml, 50 ml dan 70 ml aquades. Setelah itu, mengaduk gula pasir dan aquades menggunakan *magnetic stirrer* selama 15 menit. Kemudian memindahkan larutan gula pasir yang sudah tercampur ke dalam botol dengan menambahkan 250 ml aquades sebagai *stock solution*.



Gambar 3.2 *Magnetic stirrer*

3.3.2.1 Sintesis C-Dots

a. Sintesis C-Dots dengan Metode Microwave

Menuang *stock solution* pertama yang konsentrasinya aquadesnya yaitu 30 ml kedalam gelas beker lalu memasukkannya kedalam *microwave* selama 40 menit untuk proses pemanasan menjadi C-Dots. Sampel yang dihasilkan berupa kerak seperti karamel pada dasar gelas beker. Selanjutnya mendinginkan kerak dengan menambahkan 100 ml aquades. Kemudian menggoyang-goyangkan sampel sampai tercampur merata dan tidak meninggalkan sisa. Melakukan hal yang sama untuk sampel yang volume aquadesnya 50 ml dan 70 ml.



Gambar 3.3. Alat *microwave*

Setelah selesai di *microwave* memasukkan larutan C-Dots kedalam botol sentrifuge selama 20 menit pada kecepatan putaran 4500 rpm dengan tujuan agar terpisah antara larutan C-Dots dengan endapan. Setelah sampel selesai di *sentrifuge* maka dihasilkan larutan gula pasir yang tanpa endapan. Pembuatan

larutan gula pasir dilakukan beberapa kali hingga menghasilkan *stock solution* larutan gula pasir.

b. Menghitung Massa C-Dots

Menghitung massa C-Dots dengan menimbang 1 ml larutan C-Dots gula pasir dan 1 ml aquades pada timbangan digital dengan mengulang sebanyak 3 kali pada masing-masing volume aquades yaitu 30 ml, 50 ml dan 70 ml. Kemudian menghitung selisih massa yang dihasilkan dan mengkonversikan kedalam satuan (gram/liter). Setelah melakukan proses perhitungan massa C-Dots gula pasir diperoleh massa C-Dots pada volume aquades 30 ml, 50 ml dan 70 ml secara berturut-turut adalah 3,6 gram/liter, 2,1 gram/liter dan 1,7 gram/liter.

3.3.3.1 Menyiapkan Larutan FeCl_3 dengan Berbagai Konsentrasi

Menimbang FeCl_3 sebanyak 1,622 gram, selanjutnya mencampurkan FeCl_3 dengan aquades pada gelas kimia 100 ml. setelah itu menuangnya ke dalam botol Erlenmeyer 1000 ml. Kemudian menyaring FeCl_3 menggunakan kertas saring (*Filter papers*), lalu mengencerkan larutan FeCl_3 tersebut ke dalam 5 variasi konsentrasi yang berbeda. Variasi konsentrasi FeCl_3 yang dibuat adalah FeCl_3 [0,01 M], FeCl_3 [0,001 M], FeCl_3 [0,0001 M], dan FeCl_3 [0,00001 M], ini diperoleh dari pengenceran awal FeCl_3 [0,1 M]. Pengenceran dilakukan dengan menggunakan mikropipet 0,3 ml atau 300 μ untuk sampel FeCl_3 . Untuk sampel C-Dots menggunakan C-Dots mikropipet 1 ml (3 kali pipet) untuk dimasukkan ke tahap pengujian.

3.3.4.1 Tahap Pengujian Sampel

a. Pengujian Spektrometer Ultraviolet-Visible (Uv-Vis)

Menguji absorpsi ketiga sampel hasil sintesis menggunakan *Spectrometer Ultra Violet Visible (Uv-Vis) Varian Cary 50 Conc.* Hasil karakterisasi yang diperoleh berupa peak (puncak) absorpsi pada panjang gelombang. Langkah-langkah pengujian absorpsi menggunakan *Spectrometer Ultra Violet Visible (Uv-Vis) Varian Cary 50 Conc* adalah sebagai berikut:

1. Mengklik button “*start*”.
2. Memilih menu “*all program*” kemudian “*Cary Win Uv*” dan memilih “*concentration*” sehingga tampil window *concentration* dan menunggu sampai proses *inisialisasi* selesai.
3. Mengklik button “*setup*” sehingga tampil window *setup* dan mengatur parameter sebagai berikut:

a) Cary

Instrument: memasukkan panjang gelombang pembacaan *ave time*, *replicate*, Y min dan Y max.

b) Standards

Standards: memilih *calibrate during run*, mengatur unit dan *standard* (level) dan memasukkan konsentrasi *standard* yang digunakan.

Fit Type: memilih tipe ukuran kurva dan $\text{min } R^2$ yang diinginkan.

c) Samples

1. *Samples names*: memasukkan jumlah dan label contoh seperti yang diinginkan. Menggunakan button “Increment” untuk label yang berurut.
2. *Weight/Volume correction*: memilih *corrections* jika diperlukan, mengatur semua *actual weight* dan *method weight* dan *actual volume* dan *method volume*.

d) Report

- 1) *Operator*: memasukkan nama *operator* dan *comment*.
- 2) *Option*: memilih pengaturan *report* yang diinginkan.
- 3) *Peak tables*: memilih “*all peaks*”, untuk melakukan pengaturan informasi peak klik *button peak information* dan mengatur informasinya.
- 4) *Autoconvert*: memilih proses konversi file yang diinginkan.

e) Auto Store

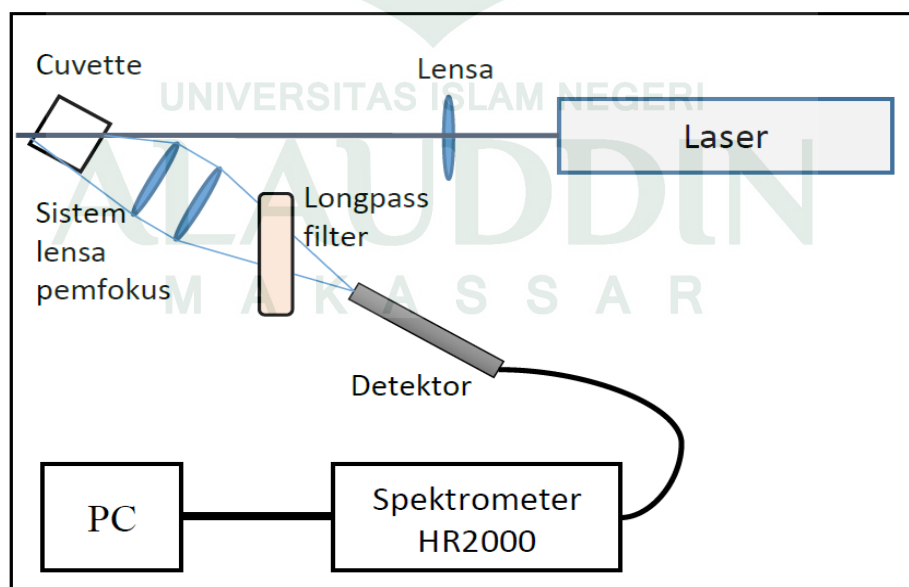
Storage: memilih storage on (*prompt at start*) jika penyimpanan pada saat start atau storage on (*prompt at end*) jika penyimpanan setelah selesai pembacaan contoh.

4. Setelah selesai mengatur parameter klik button “OK”.
5. Mengklik *button* “Zero” untuk meng-nolkan sistem, memasukkan blanko kemudian mengklik “OK”.
6. Mengklik *button* “Start” untuk memulai kalibrasi dan analisa.

7. Jika tampil window “Save As”, memasukkan nama file scan kemudian klik “Save”.
8. Dialog sample name akan tampil, memasukkan nama contoh kemudian mengklik “OK”. Akan tampil window standard *sample selection*.
9. Memilih *standard* dan *sample* yang akan dibaca kemudian mengklik OK.
10. Mengikuti penempatan *standard* dan sampel sesuai dengan window yang muncul. Untuk membaca *standard* dan *sample* yang ditempatkan dengan mengklik OK.

b. Pengujian Photoluminescence (PL)

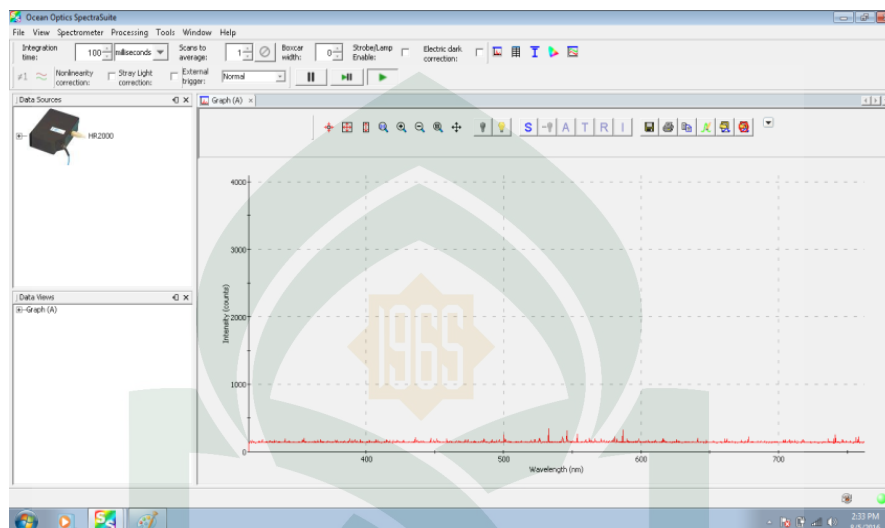
Pengujian dilakukan untuk mengetahui panjang gelombang emisi cahaya yang dihasilkan dengan menggunakan alat uji PL menggunakan *Spectrometers MayP112615 spectrum 2068*. Laser yang digunakan berada pada panjang gelombang eksitasi 405 nm. Berikut ini adalah set-up eksperimen menggunakan spektrometer PL.



Gambar 3.4. *Set-up* eksperimen fotoluminesensi

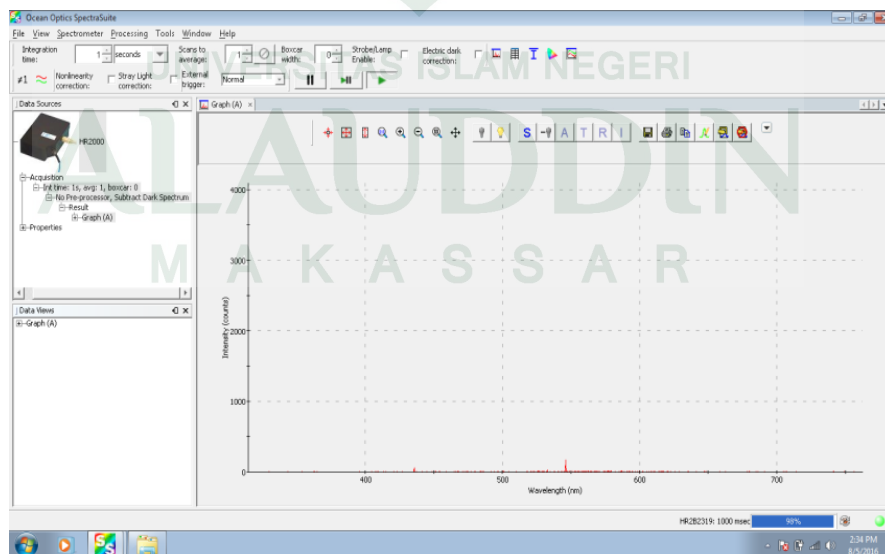
Tahapan-tahapan dari pengujian fotoluminesensi yaitu:

1. Pada penelitian ini menggunakan laser pico ($\lambda = 420 \text{ nm}$).
2. Menghubungkan spektrometer ke PC.
3. Menjalankan software *spectra suite* sehingga muncul tampilan seperti pada gambar berikut.



Gambar 3.5. Tampilan awal software *spectra suite* untuk *fotoluminesensi*

4. Menghilangkan noise dengan mengklik tombol dark, kemudian mengklik tombol minus dark, kemudian mengklik lagi tombol dark, sehingga tampilan software menjadi seperti pada gambar berikut.



Gambar 3.6. Tampilan software *spectra suite* setelah melakukan *dark reference fotoluminesensi*

c. Pengujian FTIR

Pengujian dilakukan untuk mengidentifikasi gugus fungsi yang dihasilkan oleh C-Dots menggunakan FTIR dengan spektrum yang direkam menggunakan *Fourier Transformer Infrared Spectroscopy (FTIR) Thermo Scientific Nicolet iS10*. Berikut ini langkah-langkah preparation alat-alat FTIR IS 10.

a. Menyalakan alat FTIR IS 10

1. Memastikan lingkungan di lab terjaga (suhu terkontrol, kelembaban < 80 % RH serta melihat indikator kelembaban pada alat berwarna biru atau pink).
2. Menyalakan FTIR IS 10 dengan menekan tombol *on* pada power supply.
3. Menyalakan komputer.
4. Menekan *double click icon omnic software*.

b. Preparasi sampel sebelum mengukur di FTIR

1. Menyiapkan sampel.
2. Menggerus sampel dengan menambahkan KBr powder 90 % w/w.
3. Memasukkan sampel kedalam cetakan, press dengan pressure 2 ton.
4. Melakukan preparasi sampel, pellet harus >50% transparan.

c. Pengukuran Sampel

1. Sebelum analisa sampel, mengukur background dan memastikan sampel holder (aksesoris HATR) bersih dari sampel atau kotoran.
2. Kemudian mengklik *icon experiment setup* pada toolbar kiri atas.
3. Kemudian mengisi pada kolom nomor *of scan* dan *resolution* sesuai dengan kebutuhan sampel.

4. Mengklik “save” lalu ok.
 5. Mengklik “collect” background pada toolbar untuk melakukan pengukuran background.
 6. Mengklik “collect” sample pada toolbar.
 7. Kemudian akan muncul notifikasi untuk memberikan label pada sampel yang akan diukur, kemudian mengklik “OK”.
 8. Menyimpan hasil pengukuran yang telah dilakukan dengan file “save as”.
- d. Find peaks (Mencari titik puncak sampel)
1. Untuk mencari titik puncak sampel maka bisa dilakukan dengan mengklik “find peaks”.
 2. Mengklik bawah spektrum untuk menarik garis *peak*.
 3. Jika ingin di *replace spectrum* tersebut dengan mengklik “replace”.
- e. Mencari area peak
1. Memilih peak yang akan dicari areanya, kemudian mengklik “region tools” yang ada pada toolbar bawah.
 2. Mengklik pada peak yang akan diukur dan ditarik panah kanan kirinya sesuai lebar peak, lalu mengklik “annotate”.
- f. Search Library
1. Untuk analisis kualitatif berdasarkan pada *library*, mengklik “analyze” lalu memilih *library setup*.
 2. Memasukkan semua *library* dengan mengklik “add” lalu “ok”.

3. Untuk membandingkan spektrum yaitu dengan mengklik “search” pada toolbar dan *software* akan mencocokkan sampel dengan data pada library.

g. Add Spectrum to Library

1. Mengklik “library manager” pada toolbar.
2. Memilih “search library” lalu mengklik “create library”.
3. Memilih *search library* lalu mengisi nama *library* pada kolom kosong dibawah lalu mengklik “next”.
4. Memasukkan *comment* jika diinginkan lalu memasukkan nama, klik “next”.
5. Memasukkan informasi-informasi yang diinginkan pada kolom kosong seperti “no batch”, tanggal pembuatan, dibuat oleh dan lain-lain.
6. Mengklik “next” lalu memilih bilangan gelombang $4000-400\text{ cm}^{-1}$, next lagi.
7. Memilih resolusi yang diinginkan lalu mengklik “next”, lalu *finish*.
8. Setelah folder terbuat pada *search library* maka spektrum yang akan dimasukkan ke library di open lalu mengklik “Analyze” lalu “Add to library”.
9. Memilih folder yang dibuat lalu mengklik ok, lalu mengisi kolom yang perlu di isi dan mengklik ok maka spektrum tersebut sudah tersimpan dalam *library* pada *software*.

h. Print out hasil pengukuran

1. Memilih *spectrum* yang mau diprint out.

2. Mengklik *report* → *template* → pilih *template* yang sesuai → *select*.

3. Klik *report* → *preview/print report* → *print*.

i. Mematikan instrumen

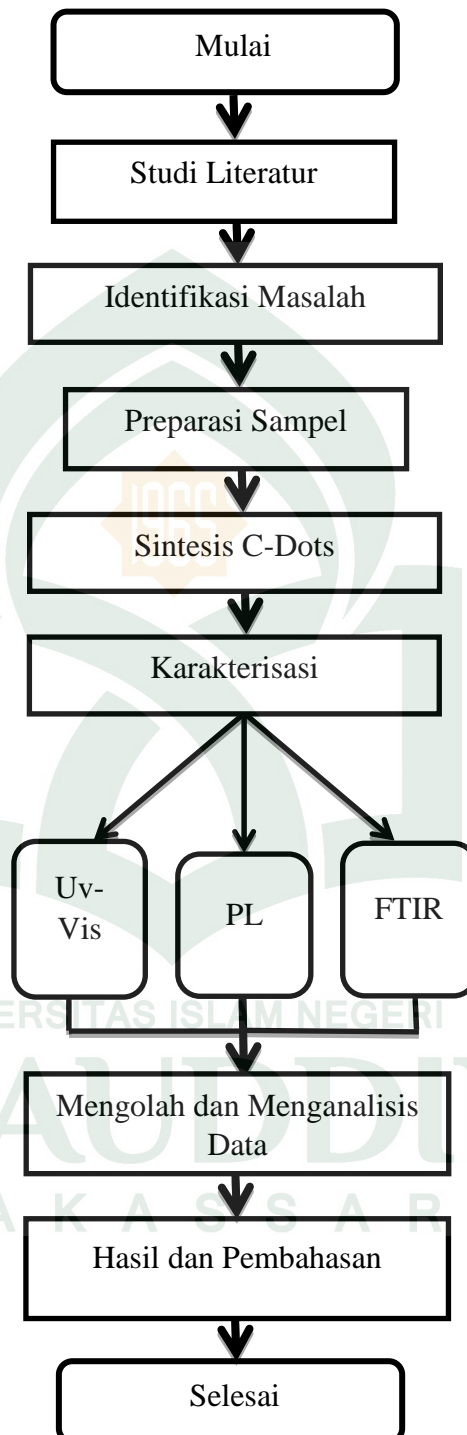
1. Meng-*close* semua aplikasi yang terbuka pada komputer.

2. Mematikan printer dari komputer.

3. Mematikan alat dengan menekan tombol *off* pada power supply.



3.4 Bagan Alir Penelitian



BAB IV

HASIL DAN PEMBAHASAN

4.1 Variasi Konsentrasi Larutan Gula terhadap Kualitas C-Dots yang dihasilkan Menggunakan Teknik Microwave

Variasi konsentrasi larutan gula pasir yang digunakan pada pembuatan C-Dots menghasilkan kualitas C-Dots yang berbeda-beda. Massa gula pasir yang digunakan dalam penelitian adalah 20 gram dan volume aquades berturut-turut yaitu 30 ml, 50 ml dan 70 ml seperti pada gambar 4.1, sehingga diperoleh konsentrasi larutan gula pasir berturut-turut 0,37 gr/ml, 0,27 gr/ml dan 0,21 gr/ml. Semakin besar konsentrasi larutan gula pasir yang digunakan maka konsentrasi C-Dots yang dihasilkan semakin tinggi.



Gambar 4.1. Variasi konsentrasi larutan gula pasir sebelum di masukkan ke *microwave*

4.2 Karakteristik Optik C-Dots Larutan Gula Pasir dengan Teknik Microwave

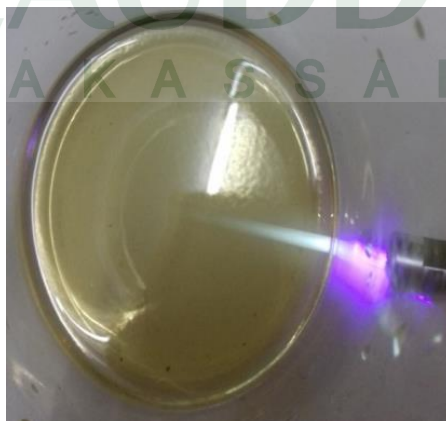
Sintesis C-Dots dengan menggunakan metode *microwave* berbahan dasar gula pasir telah berhasil dibuat. C-Dots yang dihasilkan dari 0,37 gr/ml larutan gula memiliki warna kuning yang paling pekat dibandingkan dengan larutan gula

0,27 gr/ml dan 0,21 gr/ml. Sementara untuk C-Dots yang konsentrasi larutan gula 0,27 gr/ml dan 0,21 gr/ml terlihat seperti berwarna bening. Hasil sintesis C-Dots dari bahan gula pasir dengan variasi konsentrasi larutan gula pasir memiliki penampakan warna sampel yang berbeda-beda seperti pada gambar 4.2 berikut.



Gambar 4.2. Hasil sintesis C-Dots dengan teknik *microwave* pada konsentrasi (a) K1 = 3,6 gr/L, (b) K2 = 2,1 gr/L, (c) K3 = 1,7 gr/L.

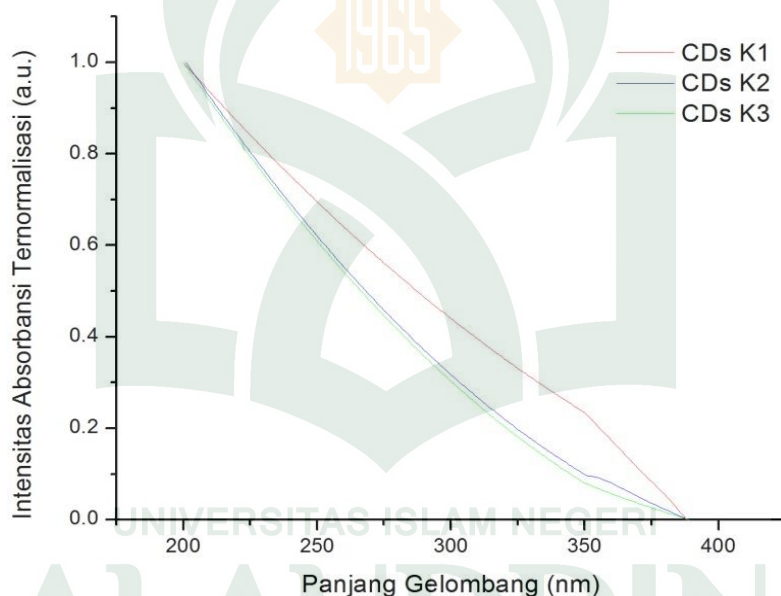
Salah satu metode pengujian sederhana untuk pengamatan secara visual yang telah dilakukan adalah dengan menembakkan sinar UV. Hasil yang diperoleh dapat langsung diamati oleh mata seperti pada gambar 4.3 sehingga diperoleh pendaran (perubahan warna) dari ketiga konsentrasi sampel yang berbeda-beda.



Gambar 4.3. Sampel yang ditembakkan sinar UV 405 nm.

Berdasarkan gambar 4.3 dapat diketahui bahwa sinar UV 405 nm mengalami pendaran (perubahan warna). Hal itu ditandai dengan sinar UV yang ditembakkan kedalam gelas kimia berisi larutan gula yang telah dimicrowave mengalami perubahan warna dari sinar ungu menjadi hijau.

Hasil sintesis C-Dots dari larutan gula pasir dengan teknik *microwave* dilakukan karakterisasi *Ultraviolet Visible* (Uv-Vis), *Photoluminescence* (PL) dan *Fourier Transformer Infrared Spectroscopy* (FTIR). Hasil karakterisasi ditunjukkan pada gambar 4.4 berikut.



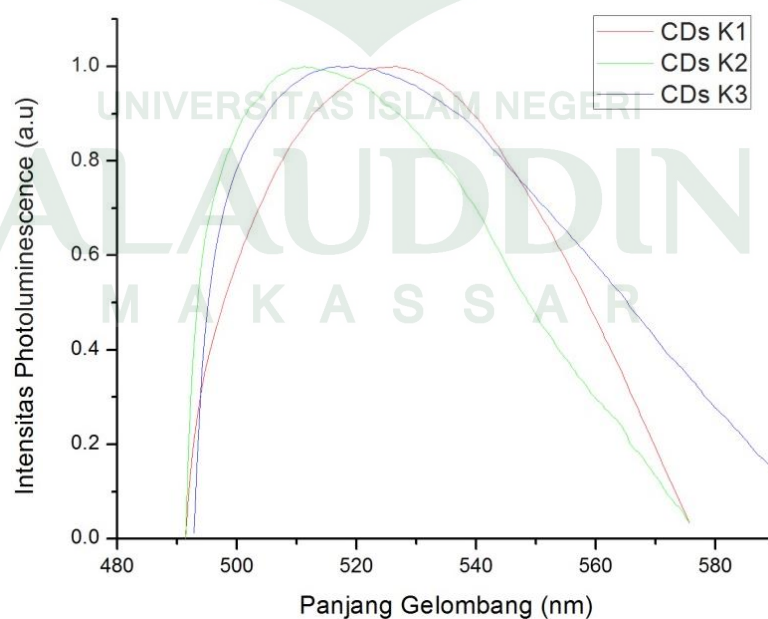
Gambar 4.4. Hasil karakterisasi Uv-Vis C-Dots larutan gula pasir dengan berbagai konsentrasi menggunakan teknik *microwave*

Berdasarkan grafik 4.4 Uv-Vis spektrum absorpsi yang terbentuk pada konsentrasi C-Dots 3,6 gram/L memiliki 2 puncak yaitu pada puncak pertama menghasilkan panjang gelombang 271 nm dan puncak kedua menghasilkan panjang gelombang 348 nm. Dan untuk konsentrasi C-Dots 2,1 gram/L memiliki 2 puncak yaitu pada puncak pertama menghasilkan panjang gelombang 273 nm

dan puncak kedua menghasilkan panjang gelombang 350 nm. Sementara untuk konsentrasi C-Dots 1,7 gram/L juga memiliki 2 puncak yaitu pada puncak pertama menghasilkan panjang gelombang 276 nm dan pada puncak kedua menghasilkan panjang gelombang 352 nm. Puncak absorpsi satu pada panjang gelombang tersebut menunjukkan transisi elektron $\pi \rightarrow \pi^*$ (*core*) dan puncak absorpsi kedua menunjukkan transisi elektron $n \rightarrow \pi^*$ (*surface state*). Namun pada grafik mengalami penyerapan panjang gelombang yang sangat lemah karena puncak (*peak*) pada *surface state* nampak seperti landai dan hampir tidak terlihat.

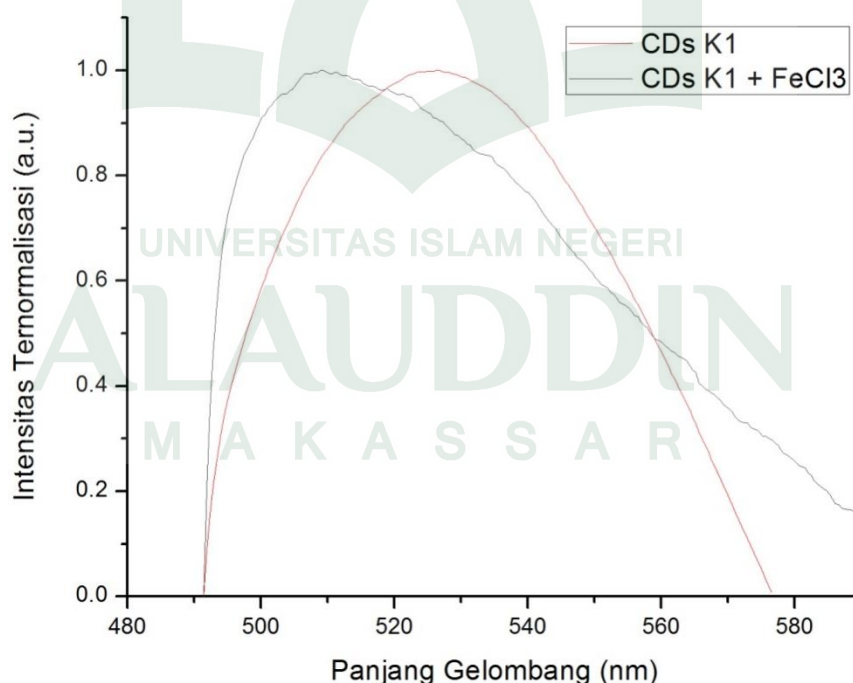
3. Pendeteksi Logam Berat Besi (Fe^{3+}) Menggunakan Carbon Dots (C-Dots)

Carbon Dots berbahan dasar gula pasir berhasil mendeteksi logam berat besi (Fe^{3+}), hal ini dibuktikan pada pengujian PL. Karakteristik PL digunakan untuk mendapatkan puncak (*peak*) panjang gelombang pada panjang gelombang eksitasi 405 nm emisi panjang gelombang yang dihasilkan oleh C-Dots seperti pada gambar 4.5 berikut.



Gambar 4.5. Hasil karakterisasi PL C-Dots larutan gula pasir dengan teknik *microwave*

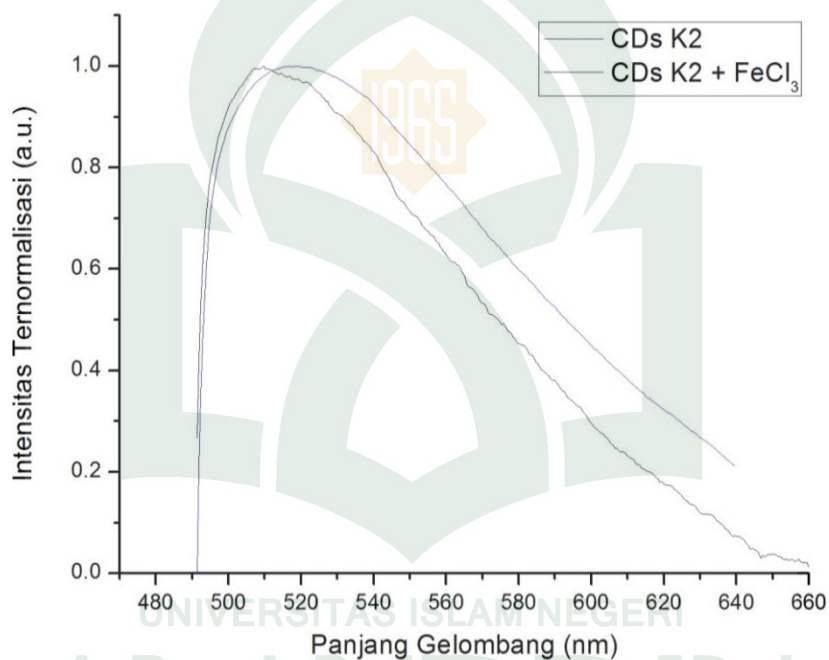
Berdasarkan grafik 4.5 PL murni emisi yang dihasilkan pada konsentrasi C-Dots 3,6 gram/L menghasilkan *peak* pada panjang gelombang 526 nm. Dan untuk konsentrasi C-Dots 2,1 gram/L menghasilkan *peak* pada panjang gelombang 516 nm. Sementara untuk konsentrasi C-Dots 1,7 gram/L menghasilkan *peak* pada panjang gelombang 511 nm. Pada grafik mengalami pergeseran panjang gelombang ketika konsentrasinya ditambah. Ini berarti bahwa semakin tinggi konsentrasi C-Dots maka panjang gelombang yang dihasilkan juga semakin besar sehingga panjang gelombang yang diperoleh dari ketiga konsentrasi C-Dots sesuai dengan pendaran yang dihasilkan yaitu berwarna hijau yang memiliki panjang gelombang antara 500-570 nm. Sedangkan untuk grafik PL yang ditambahkan logam berat besi (Fe^{3+}) pada konsentrasi C-Dots 3,6 gr/L diperoleh grafik pada gambar 4.6 dibawah ini.



Gambar 4.6. Hasil karakterisasi PL dengan penambahan logam berat besi (Fe^{3+}) pada konsentrasi C-Dots 3,6 gr/L.

Berdasarkan grafik 4.6 emisi dari panjang gelombang yang dihasilkan pada C-Dots yang konsentrasinya 3,6 gr/L setelah ditambahkan logam berat besi (Fe^{3+}) terjadi perubahan dari keadaan awal yaitu ditandai dengan pergeseran panjang gelombang dari panjang gelombang murni tanpa penambahan logam berat sebesar 526 nm turun menjadi 507 nm.

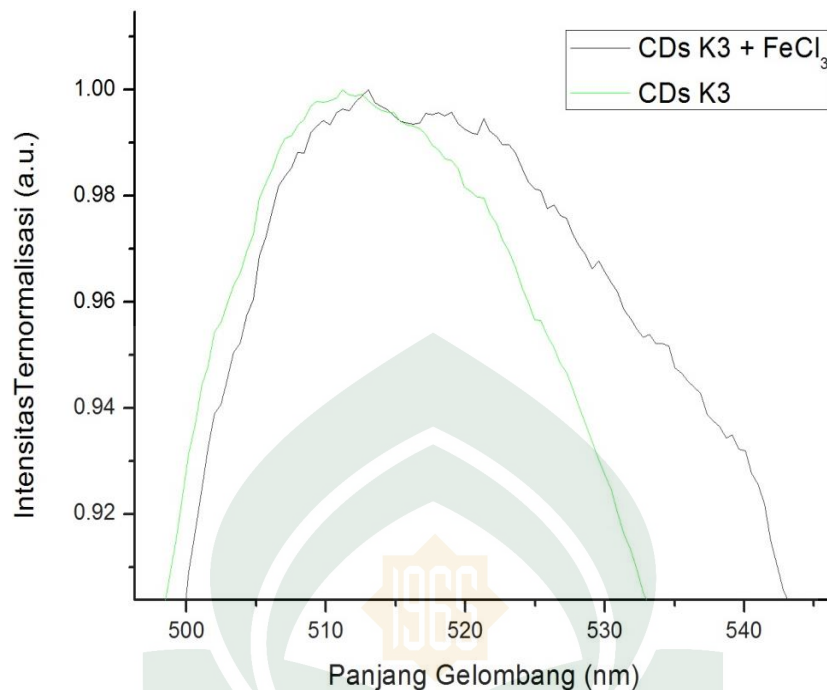
Sementara untuk grafik PL yang ditambahkan logam berat besi (Fe^{3+}) pada konsentrasi C-Dots 2,1 gr/L diperoleh grafik pada gambar 4.7 dibawah ini.



Gambar 4.7. Hasil karakterisasi PL dengan penambahan logam berat besi (Fe^{3+}) pada konsentrasi C-Dots 2,1 gr/L.

Berdasarkan grafik 4.7 C-Dots dengan konsentrasi 2,1 gr/L mengalami pergeseran panjang gelombang dari 516 nm murni tanpa penambahan logam berat besi (Fe^{3+}) turun menjadi 509 nm setelah penambahan logam berat.

Selanjutnya grafik PL yang ditambahkan logam berat besi (Fe^{3+}) pada konsentrasi C-Dots 1,7 gr/L diperoleh grafik pada gambar 4.8 dibawah ini.



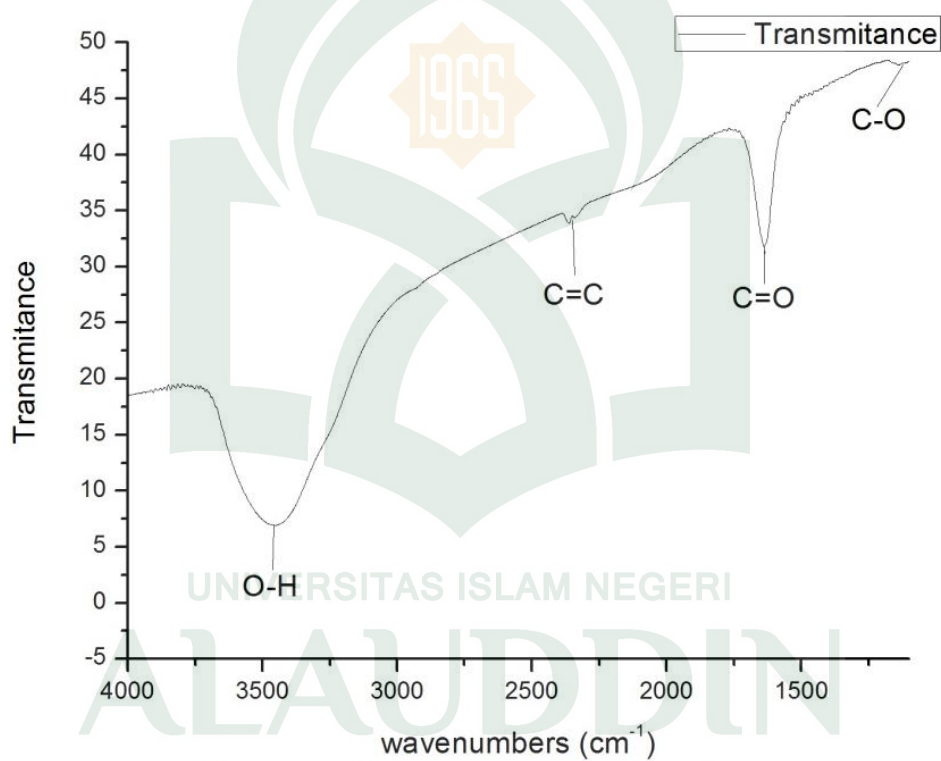
Gambar 4.8. Hasil karakterisasi PL dengan penambahan logam berat besi (Fe^{3+}) pada konsentrasi C-Dots 1,7 gr/L.

Berdasarkan grafik 4.8 C-Dots dengan konsentrasi 1,7 gr/L mengalami pergeseran panjang gelombang murni tanpa penambahan logam berat yaitu 511 nm dan setelah mengalami penambahan logam berat berubah menjadi 513 nm. Dengan adanya penambahan logam berat besi (Fe^{3+}) mengalami pergeseran panjang gelombang dari keadaan awalnya sehingga C-Dots berhasil mendeteksi adanya logam berat besi (Fe^{3+}). Hal ini berdasar pada penelitian yang telah dilakukan oleh Fatimah, (2017) tentang C-Dots dari bahan kulit jeruk menggunakan teknik pemanasan gelombang mikro dan mengamati sifat optiknya sehingga hasil yang diperoleh yaitu dengan adanya penambahan matriks mempengaruhi absorbansi dan fotoluminesens dari C-Dots. Pergeseran puncak absorbansi dan panjang gelombang emisi mengindikasikan perubahan struktur C-

Dots yang diakibatkan oleh ikatan molekul matriks pada keadaan permukaannya (Fatimah, 2017).

4. Bentuk Ikatan C-Dots dengan Menggunakan Metode Fourier Transformer Infrared Spectroscopy (FTIR)

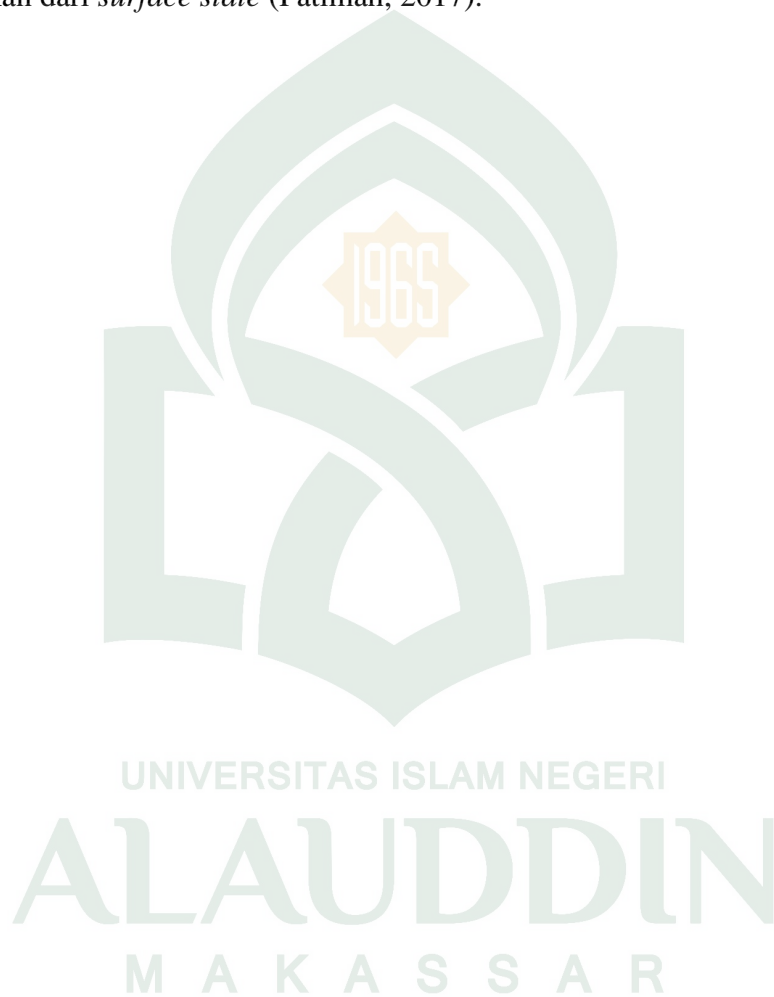
Pengujian FTIR dilakukan untuk mengetahui gugus fungsi yang terdapat dalam C-Dots larutan gula pasir. Hasil karakterisasi FTIR dapat dilihat pada gambar 4.9 dibawah ini.



Gambar 4.9. Hasil karakterisasi FTIR C-Dots larutan gula pasir

Berdasarkan grafik 4.9 gugus fungsi yang terdapat pada C-Dots larutan gula pasir adalah O-H yang memiliki bilangan gelombang 3.450 cm^{-1} Li, *et al*; (2013), C=C memiliki bilangan gelombang 2.362 cm^{-1} Gao, *et al*; (2015), C=O memiliki bilangan gelombang 1.637 cm^{-1} Sun, *et al*; (2013), dan C-O memiliki bilangan gelombang 1.138 cm^{-1} Tosic, *et al*; (2016). Hasil FTIR menunjukkan

adanya gugus fungsi C=C yang merupakan penyusun dari $\pi \rightarrow \pi^*$ (*core*). Sementara untuk gugus fungsi O-H, C=O, dan C-O merupakan penyusun dari $n \rightarrow \pi^*$ (*surface state*). Gugus fungsi diatas menunjukkan bahwa C-Dots telah berhasil ditemukan dalam sampel larutan gula pasir dengan pendaran yang dihasilkan dari *surface state* (Fatimah, 2017).



BAB V

PENUTUP

5.1 Kesimpulan

Berdasarkan hasil penelitian yang telah dilakukan dapat disimpulkan bahwa:

1. Pengaruh variasi konsentrasi larutan gula terhadap kualitas *Carbon Dots* (C-Dots) yaitu semakin besar konsentrasi larutan gula maka konsentrasi C-Dots semakin tinggi.
2. Karakteristik optik larutan C-Dots gula pasir dengan menggunakan teknik *microwave* memiliki hasil penampakan yang berbeda-beda. Hasil yang diperoleh setelah memanaskan larutan di *microwave* dengan konsentrasi yang berbeda-beda didapatkan hasil larutan C-Dots yaitu pada konsentrasi 3,6 gr/L berwarna kuning pekat dan menghasilkan pendaran. Sementara konsentrasi C-Dots 2,1 gr/L berwarna bening dan menghasilkan pendaran. Dan untuk konsentrasi C-Dots 1,7 gr/L juga berwarna bening serta menghasilkan pendaran. Karakteristik Uv-Vis dengan berbagai konsentrasi C-Dots menghasilkan dua puncak (*peak*) absorpsi namun penyerapannya sangat lemah di panjang gelombang tertentu karena puncak (*peak*) *core* yang didapat hampir tidak terlihat begitu juga di *surface state peak* nya tidak terlalu kelihatan.
3. C-Dots dari bahan gula pasir berhasil digunakan untuk mendeteksi keberadaan logam besi (Fe^{3+}) melalui uji karakterisasi PL, sehingga diperoleh

hasil yaitu apabila ditambahkan logam berat besi (Fe^{3+}) mengalami perubahan struktur C-Dots dari keadaan dasarnya. Hal itu ditandai dengan panjang gelombangnya yang mengalami pergeseran.

4. Gugus fungsi yang terdapat pada C-Dots dengan menggunakan metode *Fourier Transformer Infrared Spectroscopy* (FTIR) yaitu gugus fungsi C=C yang berada diarea $\pi \rightarrow \pi^*$ (*core state*). Dan untuk gugus fungsi C=O, dan C-O berada diarea $n \rightarrow \pi^*$ (*surface state*). Sehingga gugus fungsi diatas menunjukkan bahwa C-Dots telah berhasil ditemukan dalam sampel larutan gula pasir dengan pendaran yang dihasilkan dari *surface state* (Fatimah, 2017).

5.2 Saran

Saran yang dapat diberikan setelah melakukan penelitian ini adalah sebagai berikut:

1. Sebaiknya menggunakan perbandingan pendeteksi logam berat jenis lain agar dapat diketahui jenis logam berat apa yang paling membahayakan sehingga bisa diminimalisir keberadaannya dialam.
2. Sebaiknya dilakukan karakterisasi dengan parameter yang lain seperti uji *Time-Resolved Photoluminescence* (TRPL) agar dapat diketahui waktu luruh elektron yang terjadi pada C-Dots.

DAFTAR PUSTAKA

- Abdullah M & Khairurrijal. *Karakterisasi Nanomaterial: Teori, Penerapan dan Pengolahandata*. Bandung: Rezeki Putera Bandung, 2010.
- Abdullah, M., Khairurrijal, "Review: Karakterisasi Nanomaterial," *Nanosains & Nanoteknologi*, Vol. 2 No.1, hal.1-9. 2009.
- Abdullah, M., Virgus, Y., Nirmin, & Khairurrijal. 2008. "Review: Sintesis nanomaterial," *Nanosains & Nanoteknologi*, 1.2: 33-57 ISSN 1979-0880. (Diakses 10 November 2017).
- Abdullah. *Tafsir Ibnu Katsir Jilid 8*. Bogor: Pustaka Imam Asy-Syafi'I, 2015.
- A.Jenei, Department of Biophysics and Cell Biology, August 2007. Available: www.biophys.dote.hu/old/pharmacy/fluorescence_print.pd. (Diakses 10 November 2017).
- Baker, S., N. & Baker, G., A. "Luminescent Carbon Nanodots: Emergent Nanolight," *Angew. Chem. Int.* 99: 6726-6744. 2010. (Diakses 14 November 2017).
- Basset, J. *Kimia Analisis Kuantitatif Anorganik*. Jakarta: EGC, 1994.
- Bilqis, M. Silma. "Perbandingan Sifat Optik Carbon Nanodots Berbahan Dasar Gula Pasir dan Air Jeruk dengan Metode Sintesis Hydrothermal dan Microwave" *Skripsi*. Yogyakarta: Jurusan Pendidikan Fisiks Fakultas Matematika dan Ilmu Pengetahuan Alam Universitas Negeri Yogyakarta, 2017.
- Day, R.A dan A.L. Underwood. *Analisa Kimia Kuantitatif*. Jakarta: Erlangga, 2002.
- Darwin, P. *Menikmati Gula Tanpa Rasa Takut*. Perpustakaan Nasional: Sinar Ilmu, 2013.
- Emel. "Spektroskopi Uv-Vis". <https://www2.chemistry.msu.edu/> (11 Juni 2018).
- Faisal N., Wang, L., Zhu, L., Meng, X., dan Xiao, F. "ascorbic acid assisted green route: for synthesis of water dispersible carbon dots," *Chem. Res. Chin. Univ.* 2013, 29(3), 401-403. (Diakses 14 November 2017).
- Farikhin, Fahrizal. "Analisa Scanning Electron Microscope Komposit Polyester dengan Filler Karbon Aktif dan Karbon Non Aktif" *Skripsi*. Surakarta: Jurusan Teknik Mesin Fakultas Teknik. Universitas Muhammadiyah Surakarta, 2016.
- Fatimah, S., Isnaeni., & Tahir, D. 2017. "Assisted Surface-state Recombination of Orange-peel Carbon Nanodots in Various Matrices," *Department Of Physics. Unhas. Univ.* 22(1): 29-34 (Di akses 9 Juli 2018).
- Gao, X., Lu, Y., Zhang, R., He, S., Ju, J., Liu, M., Lia, L., Chen, W. M., Lia, L., Chen, W. 2015. One-pot shynthesis of carbon nanodots for fluorescence

- tur-on detection of Ag⁺ induced enhancement of fluorescence. *J. Mater. Chem. C* 3(10): 2302-2309, <https://doi.org/10.39/C4TC02582B>.
- Georgakilas, V., Perman, J.A, Tucek J., & Zboril, R. "Broad family of carbon nanoallotropes: Classification, chemistry, and applications of fullerenes, carbon dots, nanotubes, graphene, nanodiamonds, and combined super structures," *Chemical Reviews* (Agustus 2015), 115.11: 4744-4822 (Di akses 10 November 2017).
- Griffiths, P.R. *Chemical Analysis: A Series Of Monograph on Analytical Chemistry and its Application, Chemical Infrared Fourier Transform Spectroscopy*, 43, Toronto: John Willey & SMS. 1975.
- Iravani, S., H. Korbekandi, S.V. Mirmohammadi dan B. Zolfaghari, "Synthesis of silver nanoparticles: chemical, physical and biological methods," *Research in Pharmaceutical Sciences*, 9(6): 385-406. 2013 (Di akses 10 November 2017).
- Jacob, J dan F.Y.C Boey. "Review thermal and non-thermal: interaction of microwave radiation with materials. *Journal of Materials Science*, 30.1: 5321- 5323. 1995 (Di akses 10 November 2017).
- Jain, A.K. "An Overview of Microwave Assisted Technique: Green Synthesis," *Article Webmed Central*. 225.1:1-15. 2011. (Di akses 10 November 2017).
- Kementerian Agama RI. *Al-qur'an dan Terjemahan*. Bandung: CV Mikraj Khazanah Ilmu. 2014.
- Kristianingrum, S. *Spektroskopi Ultra Violet dan Sinar tampak (Spektroskopi Uv-Vis)*. Yogyakarta: Universitas Negeri Yogyakarta, 2016.
- Kurniawan, C. *Studi Sifat Luminisensi Nanopartikel Ca_xSr_{1-x}TiO₃:RE (RE=Pr³⁺, Eu³⁺ dan Tb³⁺) yang Dipreparasi dengan Metode Sonokimia*. Bandung: Institut Teknologi Bandung, 2008.
- Li, H., Zhenhui K., Yang L., & Lee, S. "Carbon nanodots : Synthesis, properties and application," *Materials Chemistry*. DOI: 10.1039/c2jm34690g. 2012 (Di akses 14 November 2017).
- Li, R., Wei, Z., Gou X., Xuc, W. 2013. Phosphorus-doped graphene nanosheets as efficient metal-free oxygen reduction electrocatalysts. *RSC Adv.* 3 (25): 9978-9984, <https://doi.org/10.1039/C3RA41079J>.
- Nadagouda, MN., T.F. Speth dan R.S. Varma. "Microwave-Assisted Green Synthesis of Silver Nanostructures," *Accounts of Chemical Research*, 44(7): 469-470 Organic Reaction. *Scholars Research Library Archives of Applied*. 2011 (Di akses 21 Maret 2018).
- Organisasi. "Kandungan Gula Pasir". Situs Resmi Walhi. <http://www.organisasi.org/> (30 Juli 2018).
- Patel, N. H. *Basic Principle, Working and Instrumentation of Experimental Techniques*. Gujarat: Sardar Patel University, 2015.

- Physics. "Light optics a visible light". <http://physics.about.com/od/lightoptics/a/cislightspec.htm> (01 Juli 2018).
- Prasetyo, Y. *Scanning Electron Microscope dan Optical Emission Spectroscopy*. <http://yudiprasetyo53.wordpress.com/2011/11/07/scanningelectronmicroscope-sem-dan-optical-emission-spectroscopy-oes/>. 2011.
- Rahmayanti, H., D., Aji, M.P., & Sulhadi. "Sintesis Carbon Nanodots Sulfur (C-Dots Sulfur) dengan Metode Microwave. *Skripsi*. Semarang: Jurusan Fisika Fakultas Matematika dan Ilmu Pengetahuan Alam Universitas Negeri Semarang, 2014.
- Sahu, S., Birendra, B., Tapas K., Maiti & Mohapatra, S. 2012. "Simple One-Step Synthesis Of Highly Luminescent Carbon Dots From Orange Juice: Application As Excellent Bio-Imaging Agents, *Chem. Science Research*, 4.1: 645-661 (Di akses 10 November 2017).
- Surati, M., A., S. Jauhari, K., R. Desai. A brief review: *Microwave Assisted*. 2012.
- Tahid. *Spektroskopi Inframerah Transformasi Fourier No II Th VIII*. Bandung: Warta Kimia Analitis. 1994.
- Taylor, J., L., C. Lynch dan J., F. Dlugos, "Particle Characterization of UVB locking Sunscreens and Cosmetics Using UV Visible Spectroscopy," *PerkinElmer*, 01136201:1-11. 2013 (Di akses 8 April 2018).
- Tosic., D., Markovic, Z., Jovanovic., S., Prekodravac, J., Budimir, M., Kepic, D., Antunovic, I.H., Dramicamin, M., Markovic, B.T. 2016. Rapid thermal annealing of nickel-carbon nanowires for grapheme nanoribbons formation. *Synth. Metal* 218: 43-49, <https://doi.org/10.1016/j.Synthment.2016.04.016>.
- Uma Maheswari, C., Obi Reddy, K., Muzenda, E., Guduri, B. R., & Varada Rajulu, A. (2012). Extraction and characterization of cellulose microfibrils from agricultural residue-Cocos nucifera L. *Biomass and Bioenergy*. Hal 555-563.
- Vita, E. *Kajian Pengaruh Konsentrasi Urea Dalam Sifat Optik Nanofiber Graphene Oxide/PVA (Polyvinyl Alcohol) yang Difabrikasi Menggunakan Teknik Electrospinning*. Yogyakarta: Universitas Gadjah Mada, 2015.
- Wikipedia. "Menghitung konsentrasi sebuah larutan". Situs Resmi. https://id.wikipedia.org/wiki/Menghitung_konsentrasi_sebuah_larutan (30 Juli 2018).
- Wocono. "Spektrofotometri". <https://wocono.wordpress.com> (01 Juli 2018).
- Zhai, X., Peng Z., Changjun L., Tao B., Li, W., Liming D., & Liu W. 2012. Highly Luminescent Carbon Nanodots by Microwave-Assisted Pyrolysis, *Chem. Commun.* 48: 7955–7957.
- Zhou, L., Benzhaoh He & Jiachang H. "Amphibious Fluorescent Carbon Dots: One Step Green Synthesis and Application for Light-emitting Polymer Nanocomposites," *Chem. Commun.* 49: 8078-8080.

Zhu, C., Junfeng Z., & Shaojun D. 2012, "Bifunctional Fluorescent Carbon Nanodots: Green Synthesis via soy Milk and Application as Metal-Free Electrocatalysts for Oxygen Reduction," *Chem. Commun.* 48: 9367–9369.





LAMPIRAN-LAMPIRAN

UNIVERSITAS ISLAM NEGERI
ALAUDDIN
M A K A S S A R



LAMPIRAN I

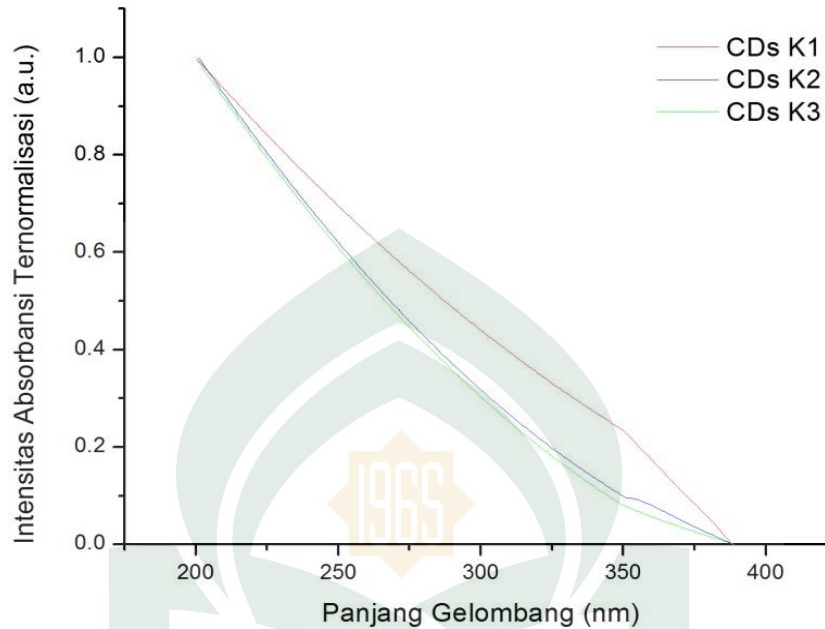
DATA HASIL PENELITIAN

UNIVERSITAS ISLAM NEGERI

ALAUDDIN

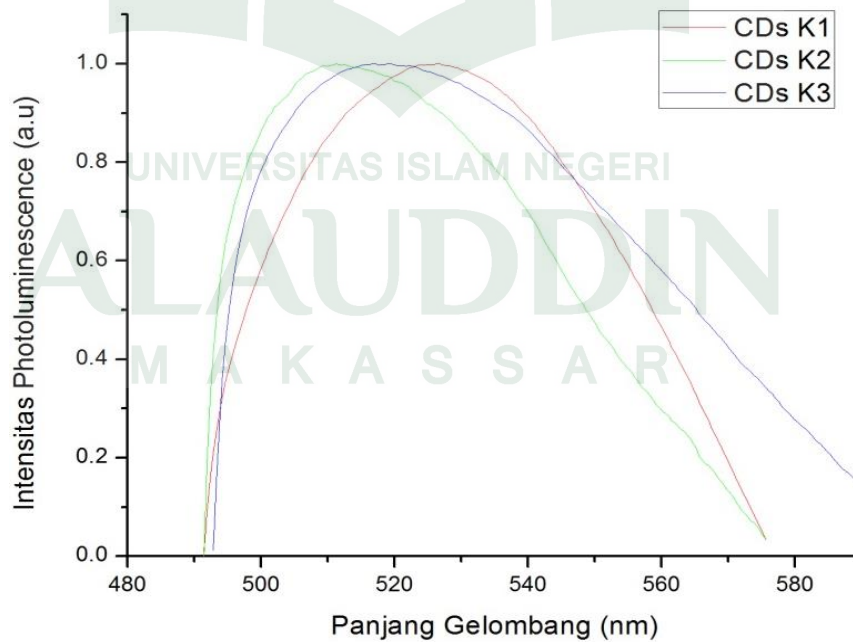
M A K A S S A R

1. Hubungan antara panjang gelombang (nm) terhadap intensitas absorpsi gabungan yang ternormalisasi



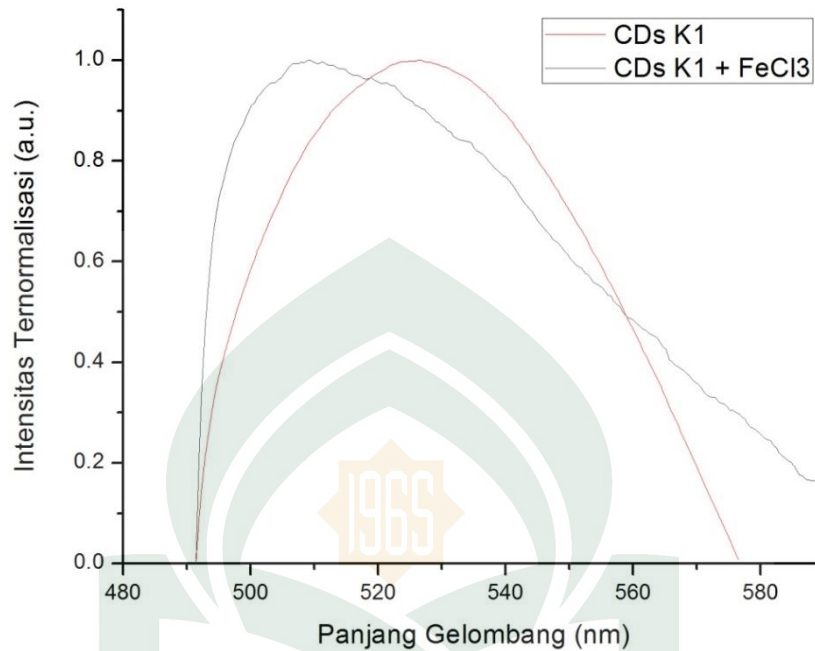
Gambar 1. Hubungan antara panjang gelombang (nm) terhadap intensitas absorpsi gabungan yang ternormalisasi.

2. Hubungan antara panjang gelombang (nm) terhadap intensitas photoluminescence gabungan yang ternormalisasi



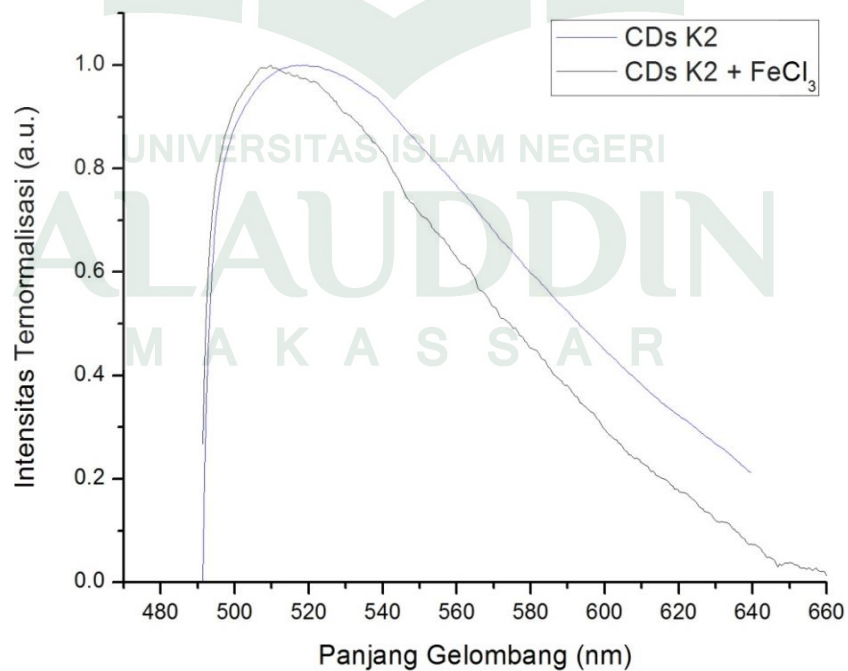
Gambar 2. Hubungan antara panjang gelombang (nm) terhadap intensitas photoluminescence gabungan yang ternormalisasi.

3. Hubungan antara panjang gelombang (nm) terhadap intensitas *photoluminescence* 3,6 gr/L yang ternormalisasi



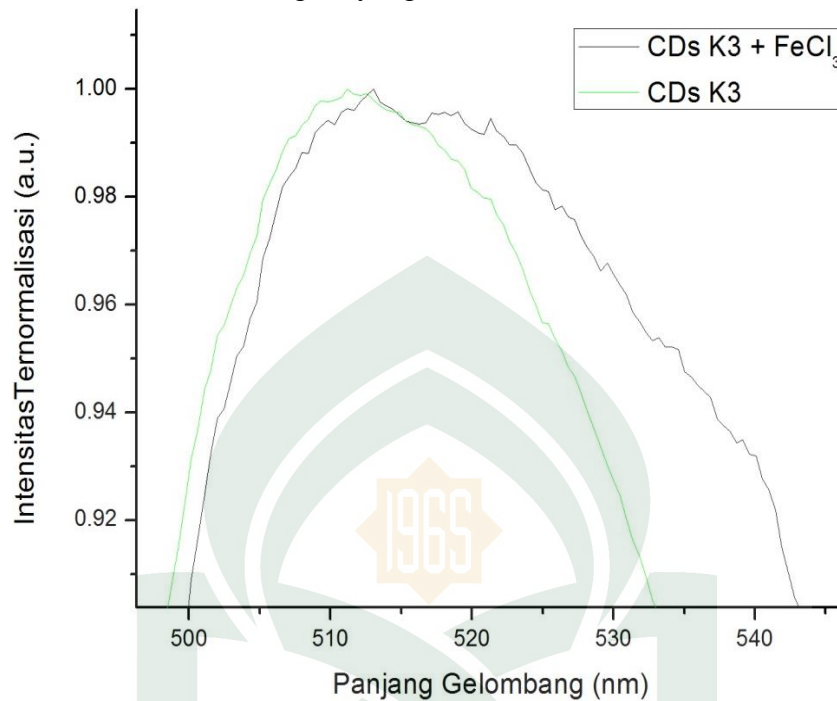
Gambar 3. Hubungan antara panjang gelombang (nm) terhadap intensitas *photoluminescence* 3,6 gr/L yang ternormalisasi.

4. Hubungan antara panjang gelombang (nm) terhadap intensitas *photoluminescence* 2,1 gr/L yang ternormalisasi



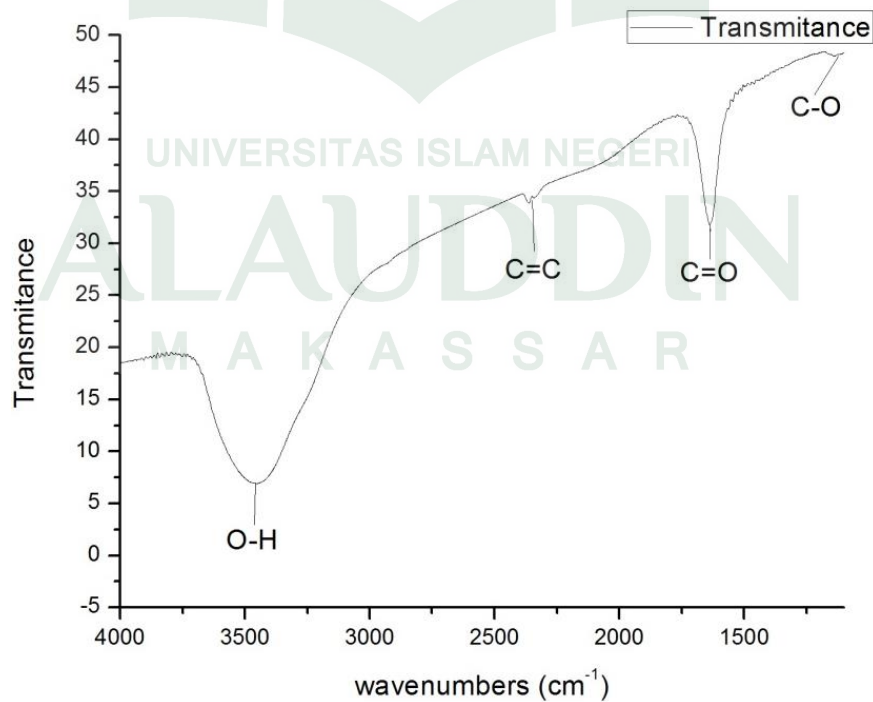
Gambar 4. Hubungan antara panjang gelombang (nm) terhadap intensitas *photoluminescence* 2,1 gr/L yang ternormalisasi

5. Hubungan antara panjang gelombang (nm) terhadap intensitas photoluminescence 1,7 gr/L yang ternormalisasi

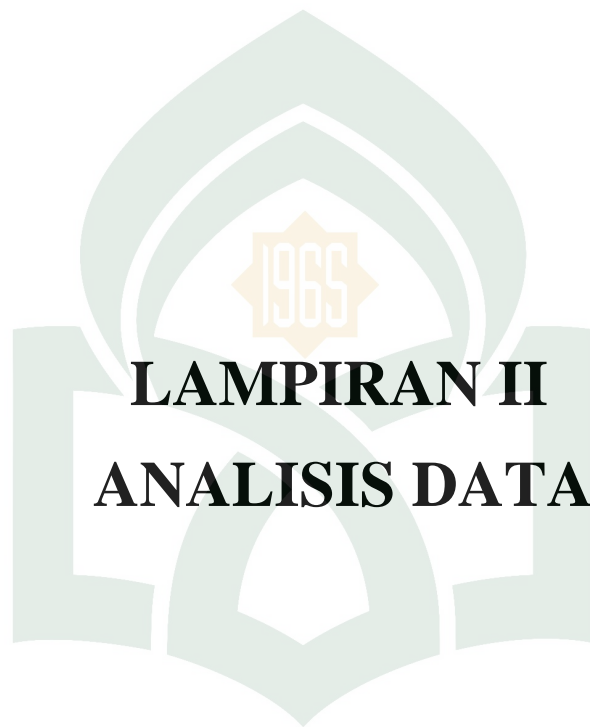


Gambar 5. Hubungan antara panjang gelombang (nm) terhadap intensitas photoluminescence 1,7 gr/L yang ternormalisasi

6. Hubungan antara wave numbers (cm^{-1}) terhadap transmittance



Gambar 6. Hubungan antara wave numbers (cm^{-1}) terhadap transmittance



LAMPIRAN II
ANALISIS DATA

UNIVERSITAS ISLAM NEGERI
ALAUDDIN
M A K A S S A R

1. Cara Menghitung Konsentrasi Larutan Gula Pasir

Dik: $m_{\text{gula pasir}} = 20 \text{ gram}$

$V_{\text{aquades1}} = 30 \text{ ml} = 0,03 \text{ l}$

$V_{\text{aquades2}} = 50 \text{ ml} = 0,05 \text{ l}$

$V_{\text{aquades3}} = 70 \text{ ml} = 0,07 \text{ l}$

$\rho_{\text{gula pasir}} = 849 \text{ gr/l} = 0,849 \text{ gr/ml}$

Dit: Konsentrasi larutan gula pasir?

Jawaban:

Mengubah satuan zat pelarut menjadi liter

ml ke liter = ?

$$= \frac{1}{1000} \times 30$$

$$= 0,03 \text{ l}$$

Menghitung volume gula pasir

$$\rho = \frac{m}{v}$$

$$v = \frac{m}{\rho}$$

$$= \frac{20 \text{ gr}}{849 \text{ gr/l}}$$

$$= 0,023 \text{ l}$$

Menghitung konsentrasi larutan gula pasir

1. Untuk $V_{\text{aquades1}} = 30 \text{ ml} = 0,03 \text{ l}$

$$\text{Konsentrasi} = \frac{\text{gram zat terlarut}}{\text{liter zat pelarut} + \text{liter zat terlarut}}$$

$$\begin{aligned}
 &= \frac{20 \text{ gr}}{0,031 + 0,024 \text{ l}} \\
 &= \frac{20}{0,054} \\
 &= 370 \text{ gr/l} \\
 &= 0,37 \text{ gr/ml}
 \end{aligned}$$

2. Untuk $V_{\text{aquades2}} = 50 \text{ ml} = 0,05 \text{ l}$

$$\begin{aligned}
 \text{Konsentrasi} &= \frac{\text{gram zat terlarut}}{\text{liter zat pelarut} + \text{liter zat terlarut}} \\
 &= \frac{20 \text{ gr}}{0,051 + 0,024 \text{ l}} \\
 &= \frac{20}{0,074} \\
 &= 270 \text{ gr/l} \\
 &= 0,27 \text{ gr/ml}
 \end{aligned}$$

3. Untuk $V_{\text{aquades3}} = 70 \text{ ml} = 0,07 \text{ l}$

$$\begin{aligned}
 \text{Konsentrasi} &= \frac{\text{gram zat terlarut}}{\text{liter zat pelarut} + \text{liter zat terlarut}} \\
 &= \frac{20 \text{ gr}}{0,071 + 0,024 \text{ l}} \\
 &= \frac{20}{0,094} \\
 &= 213 \text{ gr/l} \\
 &= 0,21 \text{ gr/ml}
 \end{aligned}$$

(Sumber: <https://id.wikihow.com/Menghitung-Konsentrasi-Sebuah-Larutan>).

2. Perhitungan FeCl_3 0,1 M

$$\begin{aligned}
 g &= 0,1 \text{ M} \times 162,2 \text{ gr/ml} \times 0,1 \text{ L} \\
 &= 1,622 \text{ grm}
 \end{aligned}$$

1. $0,01 \text{ M} \rightarrow 100 \text{ ml}$

$$V_1 \cdot M_1 = V_2 \cdot M_2$$

$$100 \cdot 0,01 = V_2 \cdot 0,1 \text{ M}$$

$$V_2 = \frac{1}{0,1}$$

$$= 10 \text{ ml}$$

2. $0,001 \text{ M} \rightarrow 100 \text{ ml}$

$$V_1 \cdot M_1 = V_2 \cdot M_2$$

$$100 \cdot 0,001 = V_2 \cdot 0,1 \text{ M}$$

$$V_2 = \frac{0,1}{0,1}$$

$$= 1 \text{ ml}$$

3. $0,0001 \text{ M} \rightarrow 100 \text{ ml}$

$$V_1 \cdot M_1 = V_2 \cdot M_2$$

$$100 \cdot 0,0001 = V_2 \cdot 0,1 \text{ M}$$

$$V_2 = \frac{0,01}{0,1}$$

$$= 0,1 \text{ ml}$$

4. $0,00001 \text{ M} \rightarrow 100 \text{ ml}$

$$V_1 \cdot M_1 = V_2 \cdot M_2$$

$$100 \cdot 0,00001 = V_2 \cdot M_2$$

$$V_2 = \frac{0,001}{0,1}$$

$$= 0,01 \text{ ml}$$

Ket: 0,1 M diencerkan menjadi 0,01 M sampai konsentrasi 0,00001 M.





LAMPIRAN III
DOKUMENTASI

UNIVERSITAS ISLAM NEGERI
ALAUDDIN
M A K A S S A R

1. Proses pengukuran massa gula pasir



2. Proses penggunaan stirrer



3. Proses microwave 900 W



4. Larutan C-Dots yang disinari laser ungu 405 nm



5. Proses Sentrifuge



6. Larutan FeCl_3 7. Konsentrasi FeCl_3 

8. Proses Penggunaan mikro pipet



9. C-Dots yang ditambahkan logam berat 0,1 M FeCl_3



10. Spektrometer Uv-Vis



11. Spektrometer PL



12. Alat Uji FTIR



13. Sampel C-Dots yang telah dicampur dengan KBr



14. Pelet yang dihasilkan sebelum sampel masuk ke tahap pengujian FTIR





LAMPIRAN IV
PERSURATAN

UNIVERSITAS ISLAM NEGERI
ALAUDDIN
M A K A S S A R



KEMENTERIAN AGAMA
UNIVERSITAS ISLAM NEGERI (UIN) ALAUDDIN MAKASSAR
FAKULTAS SAINS & TEKNOLOGI

Kampus I: Jl. Sultan Alauddin No.63 Telp. 864924 (Fax 864923)
Kampus II: Jl. H. M. Yasin Limpo No.36, Romang Polong-Gowa telp.1500363
(0411)841879 Fax (0411) 8221400

Nomor : *306* /Un.6/FST/PP.00.9/03/2018
Sifat : Penting
Lamp : -
Hal : **Izin Penelitian
Untuk Menyusun Skripsi**

Makassar, 09 Maret 2018

Kepada Yth
Kepala Laboratorium Kimia UIN Alauddin Makassar

Di-
Tempat

Assalamu Alaikum Wr. Wb.

Dengan hormat kami sampaikan, bahwa mahasiswa UIN Alauddin Makassar yang tersebut namanya di bawah ini:

Nama	: Wenni Amiruddin Salamba
NIM	: 60400114054
Semester	: VIII (Delapan)
Fakultas	: Sains & Teknologi UIN Alauddin Makassar
Jurusan	: Fisika
Pembimbing	: 1. Rahmaniah , S.Si., M.Si 2. Muh. Said L, S.Si.,M.Pd

Bermaksud melakukan penelitian dalam Rangka penyusunan Skripsi berjudul "**Sintesis Carbon Dots (C-Dots) Dari Bahan Gula Pasir Dengan Teknik Microwave untuk Mendeteksi Logam Berat Besi (Fe³⁺)**".

Untuk maksud tersebut kami mengharapkan kiranya kepada mahasiswa yang bersangkutan diberi izin untuk penelitian di "**Laboratorium Kimia UIN Alauddin Makassar**".

Demikian harapan kami, atas perhatian dan kerjasamanya kami ucapkan terima kasih

Wassalam

Dekan



Prof.Dr.H.Arifuddin,M.Ag.
NIP. 19691205 19933 1 001

Tembusan:

1. Ketua Prodi/Jurusan Fisika Fak. Sainstek UIN Alauddin Makassar
2. Arsip



KEMENTERIAN AGAMA
UNIVERSITAS ISLAM NEGERI (UIN) ALAUDDIN MAKASSAR
FAKULTAS SAINS & TEKNOLOGI

Kampus I: Jl. Sultan Alauddin No.63 Telp. 864924 (Fax 864923)
Kampus II: Jl. H. M. Yasin Limpo No.36, Romang Polong-Gowa telp.1500363
(0411)841879 Fax (0411) 8221400

Nomor : *1384/Un.6/FST/PP.00.9/03/2018*

Makassar, *29* Maret 2018

Sifat : Penting

Lamp :-

Hal : **Izin Penelitian**
Untuk Menyusun Skripsi

Kepada Yth

Kepala Laboratorium Mikrostruktur Jurusan Fisika Universitas Negeri Makassar (UNM)

Di-

Tempat

Assalamu Alaikum Wr. Wb.

Dengan hormat kami sampaikan, bahwa mahasiswa UIN Alauddin Makassar yang tersebut namanya di bawah ini:

Nama	: Wenni Amiruddin Salamba
NIM	: 60400114054
Semester	: VIII (Delapan)
Fakultas	: Sains & Teknologi UIN Alauddin Makassar
Jurusan	: Fisika
Pembimbing	: 1. Rahmaniah , S.Si., M.Si 2. Muh. Said L, S.Si.,M.Pd

Bermaksud melakukan penelitian dalam Rangka penyusunan Skripsi berjudul "**Sintesis Carbon Dots (C-Dots) Dari Bahan Gula Pasir Dengan Teknik Microwave untuk Mendeteksi Logam Berat Besi (Fe^{3+})**".

Untuk maksud tersebut kami mengharapkan kiranya kepada mahasiswa yang bersangkutan diberi izin untuk penelitian di "**Laboratorium Mikrostruktur Jurusan Fisika Universitas Negeri Makassar (UNM)**".

Demikian harapan kami, atas perhatian dan kerjasamanya kami ucapkan terima kasih



Wassalam

Dekan

Prof.Dr.H.Arifuddin,M.Ag.

NIP. 19691205 19933 1 001

Tembusan:

1. Ketua Prodi/Jurusan Fisika Fak. Sainstek UIN Alauddin Makassar
2. Arsip



KEMENTERIAN AGAMA
UNIVERSITAS ISLAM NEGERI ALAUDDIN MAKASSAR
FAKULTAS SAINS DAN TEKNOLOGI
LABORATORIUM KIMIA ANALITIK

Kampus I : Jl. Sultan Alauddin No. 63 Makassar ■ (0411) 868720, Fax. (0411) 864923
Kampus II : Jl. H.M. Yasin Limpo No.36, Romangpolong-Gowa . ■ (0411) 841879, Fax. (0411) 8221400

SURAT KETERANGAN PENELITIAN

No: 09.01/S.Ket/KAL/VII/2018

Yang bertanda tangan di bawah ini, menerangkan bahwa mahasiswa (i):

Nama : Wenni Amiruddin Salamba
NIM : 60400114054
Jurusan/Program Studi : Fisika
Fakultas : Sains dan Teknologi
Universitas : Universitas Islam Negeri Alauddin Makassar

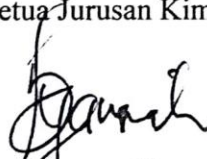
Benar telah melaksanakan penelitian dengan Judul: **“Sintesis *Carbon Dots (C-Dots)* Dari Bahan Gula Pasir dengan Teknik *Microwave* untuk Mendeteksi Logam Berat Besi (Fe^{3+})”** di Laboratorium Kimia Universitas Islam Negeri (UIN) Alauddin dari tanggal 16 Maret 2018 sampai 14 Mei 2018.

Demikian surat keterangan ini diberikan untuk dipergunakan sebagaimana mestinya.

Gowa, 05 Juli 2018

Mengetahui,
Ketua Jurusan Kimia

Kepala Laboratorium Kimia


Sjamsjah, S.Si., M.Si., Ph.D
Nip. 19680722 1998 02 2001


Dra. St. Chadijah, M.Si
Nip. 196802 1999 03 2001



KEMENTERIAN RISET, TEKNOLOGI DAN PENDIDIKAN TINGGI
UNIVERSITAS NEGERI MAKASSAR
LABORATORIUM MIKROSTRUKTUR JURUSAN FISIKA
Kampus: FMIPA Parang Tambung
Telp. (0411) 840622, Hp. 081 342 211 874



SURAT KETERANGAN

Yang bertanda tangan di bawah ini menerangkan bahwa mahasiswa:

Nama : Wenni Amiruddin Salamba
Nim : 60400114054
Fak./Jurusan : Sains dan Teknologi
Universitas : Universitas Islam Negeri Alauddin Makassar

Benar telah melakukan serangkaian Penelitian dengan Judul "Sintesis Carbon Dots (C-Dots) Gula Pasir dengan Teknik Microwave untuk Mendeteksi Logam Berat Besi (Fe^{3+})" di Laboratorium Mikrostruktur Jurusan Fisika Universitas Negeri Makassar dari tanggal 27 Maret - 27 April 2018.

Demikian surat keterangan ini dibuat untuk dipergunakan sebagaimana mestinya.

Makassar, 27 April 2018
Kepala Lab. Mikrostruktur

Drs. Subaer, M.Phil., Ph.D
NIP. 19640414 198903 1 004

UNIVERSITAS ISLAM NEGERI
ALAUDDIN
M A K A S S A R

SURAT KETERANGAN PENGUJIAN SAMPEL

Yang bertanda tangan dibawah ini, menerangkan bahwa mahasiswa (i):

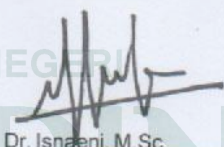
Nama : Wenni Amiruddin Salamba
NIM : 60400114054
Jurusan/Program Studi : Fisika
Fakultas : Sains dan Teknologi
Universitas : Universitas Islam Negeri Alauddin Makassar

Benar telah melakukan pengujian sampel dengan judul: "**Sintesis Carbon Dots (C-Dots) Dari Bahan Gula Pasir dengan Teknik Microwave untuk Mendeteksi Logam Berat Besi (Fe^{3+})**" di Pusat Penelitian Fisika Lembaga Ilmu Pengetahuan Indonesia dari tanggal 20 April 2018 sampai 21 Mei 2018. Pengujian dilakukan oleh Dr. Isnaeni sebagai dosen pembimbing tugas akhir.

Demikian surat keterangan ini dibuat untuk dipergunakan sebagaimana mestinya.

Tangerang, 16 Juli 2018

Dosen Pembimbing



Dr. Isnaeni, M.Sc.

NIP: 19780210 200012 1 004

UNIVERSITAS ISLAM NEGERI
ALAUDDIN
MAKASSAR



**KEPUTUSAN DEKAN FAKULTAS SAINS & TEKNOLOGI UIN ALAUDDIN MAKASSAR
NOMOR : 797 TAHUN 2018**

**TENTANG
PEMBIMBING DALAM PENELITIAN DAN PENYUSUNAN SKRIPSI MAHASISWA JURUSAN FISIKA
FAKULTAS SAINS & TEKNOLOGI UIN ALAUDDIN MAKASSAR**

DEKAN FAKULTAS SAINS & TEKNOLOGI UIN ALAUDDIN MAKASSAR

- Membaca** : Surat Permohonan Jurusan FISIKA Fakultas Sains & Teknologi UIN Alauddin Makassar, Nama **WENNI AMIRUDDIN SALAMBA** NIM : **60400114054** tertanggal **21 Maret 2018** untuk mendapatkan Pembimbing Skripsi dengan Judul : **"Sintesis Carbon Dots (C-Dots) Dari Bahan Gula Pasir Dengan Tehnik Microwave Untuk Mendeteksi Logam Berat Besi (Fe³⁺)"**
- Menimbang** : a. Bahwa untuk membantu penelitian dan penyusunan skripsi mahasiswa tersebut, dipandang perlu untuk menetapkan pembimbing dalam penelitian dan penyusunan skripsi mahasiswa tersebut diatas.
b. Bahwa mereka yang ditetapkan dalam surat keputusan ini dipandang cakap dan memenuhi syarat untuk disertai tugas sebagai pembimbing penyusunan skripsi mahasiswa tersebut diatas.
- Mengingat** : 1. Undang-undang Nomor 20 Tahun 2003 Tentang Sistem Pendidikan Nasional;
2. Undang-undang Nomor 17 tahun 2003 Tentang Keuangan Negara;
3. Undang-undang Nomor 12 Tahun 2012 Tentang Pendidikan Tinggi;
4. Peraturan Menteri Agama RI No. 1 Tahun 2012 Tentang Perubahan Ketiga Atas Peraturan Menteri Agama Nomor 2 Tahun 2006 Tentang Mekanisme Pelaksanaan Pembayaran Atas Beban Anggaran Pendapatan dan Belanja Negara di lingkungan Kementerian Agama;
5. Peraturan Menteri Agama RI Nomor 3 Tahun 2018 Tentang Organisasi dan Tata Kerja UIN Alauddin Makassar;
6. Peraturan Menteri Agama RI. Nomor 20 Tahun 2014 jo Peraturan Menteri Agama Nomor 8 Tahun 2016 Tentang Statuta UIN Alauddin Makassar;
7. Keputusan Menteri Agama Nomor 289 Tahun 1993 jo Nomor 202 B tahun 1998 Tentang pemberian Kuasa dan Pendelegasian Wewenang Menandatangani Surat Keputusan;
8. Keputusan Menteri Keuangan Nomor: 330/KMK/05/ Tahun 2008 Tentang Penetapan UIN Alauddin Makassar pada Depag Sebagai Institusi Pemerintah yang Menerapkan Pengelolaan Badan Layanan Umum (BLU);
9. Keputusan Rektor UIN Alauddin Makassar No. 200 tahun 2016 Tentang Pedoman Edukasi UIN Alauddin Makassar.

MEMUTUSKAN

- Pertama** : Mengangkat/ Menunjuk saudara :
1. **Rahmaniah, S.Si., M.Si.** sebagai Pembimbing Pertama,
 2. **Muh. Said L, S.Si., M.Pd.** sebagai Pembimbing Kedua,
- Kedua** : Tugas Pembimbing dalam penelitian dan penyusunan skripsi mahasiswa adalah memeriksa draft skripsi dan naskah skripsi, memberi bimbingan, petunjuk-petunjuk, perbaikan mengenai materi, metode, bahasa dan kemampuan menguasai masalah,
- Ketiga** : Segala biaya yang timbul akibat dikeluarkannya surat keputusan ini dibebankan kepada Anggaran Belanja Fakultas Sains & Teknologi UIN Alauddin Makassar,
- Keempat** : Surat Keputusan ini mulai berlaku sejak tanggal ditetapkan dan apabila dikemudian hari terdapat kekeliruan didalamnya akan diperbaiki sebagaimana mestinya,
- Kelima** : Surat Keputusan ini disampaikan kepada masing-masing yang bersangkutan untuk diketahui dan dilaksanakan dengan penuh tanggungjawab.

Ditetapkan di : Makassar
Pada tanggal : 21 Maret 2018



Dekan,

Prof. Dr. H. Arifuddin, M. Ag.
NIP. 1969/205 199303 1 001



**KEPUTUSAN DEKAN FAKULTAS SAINS & TEKNOLOGI UIN ALAUDDIN MAKASSAR
NOMOR : 797 TAHUN 2018**

**TENTANG
PEMBIMBING DALAM PENELITIAN DAN PENYUSUNAN SKRIPSI MAHASISWA JURUSAN FISIKA
FAKULTAS SAINS & TEKNOLOGI UIN ALAUDDIN MAKASSAR**

DEKAN FAKULTAS SAINS & TEKNOLOGI UIN ALAUDDIN MAKASSAR

- Membaca** : Surat Permohonan Jurusan FISIKA Fakultas Sains & Teknologi UIN Alauddin Makassar, Nama **WENNI AMIRUDDIN SALAMBA** NIM : 60400114054 tertanggal **21 Maret 2018** untuk mendapatkan Pembimbing Skripsi dengan Judul : **"Sintesis Carbon Dots (C-Dots) Dari Bahan Gula Pasir Dengan Teknik Microwave Untuk Mendeteksi Logam Berat Besi (Fe³⁺)"**
- Menimbang** : a. Bahwa untuk membantu penelitian dan penyusunan skripsi mahasiswa tersebut, dipandang perlu untuk menetapkan pembimbing dalam penelitian dan penyusunan skripsi mahasiswa tersebut diatas.
b. Bahwa mereka yang ditetapkan dalam surat keputusan ini dipandang cakap dan memenuhi syarat untuk disertai tugas sebagai pembimbing penyusunan skripsi mahasiswa tersebut diatas.
- Mengingat** : 1. Undang-undang Nomor 20 Tahun 2003 Tentang Sistem Pendidikan Nasional;
2. Undang-undang Nomor 17 tahun 2003 Tentang Keuangan Negara;
3. Undang-undang Nomor 12 Tahun 2012 Tentang Pendidikan Tinggi;
4. Peraturan Menteri Agama RI No. 1 Tahun 2012 Tentang Perubahan Ketiga Atas Peraturan Menteri Agama Nomor 2 Tahun 2006 Tentang Mekanisme Pelaksanaan Pembayaran Atas Beban Anggaran Pendapatan dan Belanja Negara di lingkungan Kementerian Agama;
5. Peraturan Menteri Agama RI Nomor 3 Tahun 2018 Tentang Organisasi dan Tata Kerja UIN Alauddin Makassar;
6. Peraturan Menteri Agama RI. Nomor 20 Tahun 2014 jo Peraturan Menteri Agama Nomor 8 Tahun 2016 Tentang Statuta UIN Alauddin Makassar;
7. Keputusan Menteri Agama Nomor 289 Tahun 1993 jo Nomor 202 B tahun 1998 Tentang pemberian Kuasa dan Pendelegasian Wewenang Menandatangani Surat Keputusan;
8. Keputusan Menteri Keuangan Nomor: 330/KMK/05/ Tahun 2008 Tentang Penetapan UIN Alauddin Makassar pada Depag Sebagai Institusi Pemerintah yang Menerapkan Pengelolaan Badan Layanan Umum (BLU);
9. Keputusan Rektor UIN Alauddin Makassar No. 200 tahun 2016 Tentang Pedoman Edukasi UIN Alauddin Makassar.

MEMUTUSKAN

- Pertama** : Mengangkat/ Menunjuk saudara :
1. Dr. Isnaeni, M.Sc. sebagai Pembimbing.
- Kedua** : Tugas Pembimbing dalam penelitian dan penyusunan skripsi mahasiswa adalah memeriksa draft skripsi dan naskah skripsi, memberi bimbingan, petunjuk-petunjuk, perbaikan mengenai materi, metode, bahasa dan kemampuan menguasai masalah,
- Ketiga** : Surat Keputusan ini mulai berlaku sejak tanggal ditetapkan dan apabila dikemudian hari terdapat kekeliruan didalamnya akan diperbaiki sebagaimana mestinya,
- Keempat** : Surat Keputusan ini disampaikan kepada masing-masing yang bersangkutan untuk diketahui dan dilaksanakan dengan penuh tanggungjawab.

Ditetapkan di : Makassar
Pada tanggal : 21 Maret 2018



Prof. Dr. H. Arifuddin, M. Ag.
NIP. 19691205 199303 1 001

RIWAYAT HIDUP



Wenni Amiruddin Salamba, lahir di Barru pada tanggal 06 November 1996 tepatnya di Sulawesi Selatan. Merupakan anak kedua dari pasangan Ayahanda Drs. Amiruddin dan Ibunda Hermin, S.Pd. pada tahun 2008, penulis menamatkan pendidikan di SDN Inpres Sandana.

Kemudian pada tahun 2011 penulis tamat di SMPN Tommo Kakullasan Kabupaten Mamuju. Selanjutnya penulis menyelesaikan pendidikan di SMAN 2 Mamuju pada tahun 2014. Dan pada tahun 2014 penulis terdaftar sebagai Mahasiswa Jurusan Fisika Fakultas Sains dan Teknologi UIN Alauddin Makassar.

Penulis pernah menjadi Asisten Laboratorium Fisika Dasar periode 2016-2018. Selain itu penulis juga aktif di beberapa organisasi kampus periode 2016 sebagai Anggota Keilmuan Himpunan Mahasiswa Jurusan Fisika (HMJ-F) dan periode 2017 sebagai Koordinator Keilmuan Himpunan Mahasiswa Jurusan Fisika. Selain itu penulis juga sebagai Anggota Lembaga Penelitian dan Penalaran Mahasiswa (LPPM) yang baru-baru ini telah berubah nama menjadi

UKM RITMA sebagai Anggota Penelitian dan Pengembangan (LITBANG) periode 2017.

Selama kuliah penulis pernah memperoleh beasiswa dua kali berturut-turut yaitu pada tahun 2016 dan 2017 dari Kementerian Agama (Kemenag) Republik Indonesia yaitu beasiswa Peningkatan Prestasi Akademik (PPA).

